



Eine vom Bund und den Ländern gemeinsam getragene Anstalt des öffentlichen Rechts

Europäische Technische Bewertungsstelle für Bauprodukte



Europäische Technische Bewertung

ETA-24/0281 vom 6. Dezember 2024

Allgemeiner Teil

Technische Bewertungsstelle, die die Europäische Technische Bewertung ausstellt

Handelsname des Bauprodukts

Produktfamilie, zu der das Bauprodukt gehört

Hersteller

Herstellungsbetrieb

Diese Europäische Technische Bewertung enthält

Diese Europäische Technische Bewertung wird ausgestellt gemäß der Verordnung (EU) Nr. 305/2011, auf der Grundlage von

Deutsches Institut für Bautechnik

fischer C-Fiber Force Strengthening System

Bausätze für das Verstärken von Betonbauteilen mit extern aufgeklebten und in Schlitze geklebte CFK-Lamellen

fischerwerke GmbH & Co. KG Klaus-Fischer-Straße 1 72178 Waldachtal DEUTSCHLAND

46 Seiten, davon 40 Anhänge, die fester Bestandteil dieser Bewertung sind.

EAD 160086-01-0301

DIBt | Kolonnenstraße 30 B | D-10829 Berlin | Tel.: +49 30 78730-0 | Fax: +49 30 78730-320 | E-Mail: dibt@dibt.de | www.dibt.de Z182242.24 | 8.03.01-25/20



Seite 2 von 46 | 6. Dezember 2024

Die Europäische Technische Bewertung wird von der Technischen Bewertungsstelle in ihrer Amtssprache ausgestellt. Übersetzungen dieser Europäischen Technischen Bewertung in andere Sprachen müssen dem Original vollständig entsprechen und müssen als solche gekennzeichnet sein.

Diese Europäische Technische Bewertung darf, auch bei elektronischer Übermittlung, nur vollständig und ungekürzt wiedergegeben werden. Nur mit schriftlicher Zustimmung der ausstellenden Technischen Bewertungsstelle kann eine teilweise Wiedergabe erfolgen. Jede teilweise Wiedergabe ist als solche zu kennzeichnen.

Die ausstellende Technische Bewertungsstelle kann diese Europäische Technische Bewertung widerrufen, insbesondere nach Unterrichtung durch die Kommission gemäß Artikel 25 Absatz 3 der Verordnung (EU) Nr. 305/2011.

Seite 3 von 46 | 6. Dezember 2024

Besonderer Teil

1 Technische Beschreibung des Produkts

Gegenstand dieser Europäischen Technischen Bewertung ist das "fischer C-Fiber Force Strengthening System" für die Verstärkung von Betonbauteilen durch schubfest auf die Oberfläche geklebte (EB) CFK-Lamellen und durch in Schlitze verklebte (NSM) CFK-Lamellen (im Folgenden als Bausatz bezeichnet). Der Bausatz dient zur Verstärkung von Betonelementen durch geklebte Bewehrungen zur Erhöhung der Biegetragfähigkeit der Elemente entweder zum Ausgleich von Bemessungsmängeln, Ausführungsfehlern und alterungsbedingten Tragfähigkeitsverlusten der bestehenden Konstruktion oder zur Erhöhung der Tragfähigkeit aufgrund erhöhter Belastung oder Umnutzung der bestehenden Konstruktion.

Der Bausatz für die Verstärkung von Betonelementen durch schubfest auf die Oberfläche oder in Schlitze verklebte CFK-Lamellen besteht aus folgenden Komponenten:

- A Zwei Typen von kohlenstofffaserverstärkten Kunststofflamellen (CFRP) für EB:
 - FRS-L-H und FRS-L-S,

Ein Typ von kohlenstofffaserverstärkten Kunststofflamellen (CFRP) für NSM:

- FRS-L-S NSM (gleiche Art von CFK-Lamelle wie FRS-L-S für EB)
- B Klebstoff FRS-CS nach EN 1504-4, EN 1504-3, EN 1504-6 für die Installation von CFK-Lamellen
- C Reparaturmörtel auf Epoxidharzbasis FRS-PC 11 nach EN 1504-3,
- D Haftbrücke FRS-BA für den Reparaturmörtel nach EN 1504-7,
- E Reinigungsmittel FRS-CA für die Reinigung der CFK-Lamellen.

Im Falle von Expositionsszenarien mit erhöhter UV-Belastung empfiehlt der Hersteller die Beschichtung mit FRS-SF. Dieses Oberflächenschutzsystem nach EN 1504-2 Montageanleitung des Herstellers (MPII) und in den nationalen Vorschriften erwähnt werden, das nicht Bestandteil des Bausatzes ist.

Die folgenden Informationen über den Bausatz und seine Bestandteile sind in den Anhängen zu dieser ETA enthalten:

Eine Übersicht über den Bausatz und seine Bestandteile befinden sich in den Anhängen A1 - A3 und eine Übersicht über den eingebauten Zustand in den Anhängen A4 und A5.

Eine detaillierte Beschreibung der Bestandteile des Bausatzes befindet sich im:

- Anhang C9 für die CFK- Lamellen (Komp. A),
- Anhang C1 für den Klebstoff FRS-CS (Komp. B),
- Anhang C3 für den Reparaturmörtel FRS PC 11 (Komp. C),
- Anhang C16 für die Haftbrücke des Reparaturmörtels FRS-BA (Komp. D),
- Die Beschreibung des Verwendungszwecks, des Aufbaus, des Einbaus des Bausatzes und der Aushärtungsbedingungen des Klebstoffes FRS-CS, des Reparaturmörtels FRS-PC 11 und der Haftbrücke FRS-BA ist im Anhang B1 und B2 enthalten.
- Eine Anleitung zur Verstärkung von Betonbauteilen mit schubfest aufgeklebten CFK-Lamellen und mit in Schlitze verklebten CFK-Lamellen befindet sich im Anhang B3 B6.
- Die wesentlichen Leistungsmerkmale aus dem Bewertungsverfahren gemäß
 EAD 160086-01-0301 sind im Anhang C aufgeführt:
 - o Annex C10 C15 für die CFK-Lamellen (Komp. A),
 - o Annex C2, C5 -C6 für den Klebstoff FRS-CS (Komp. B),
 - o Annex C4, C7-C8 für den Reparaturmörtel FRS PC 11 (Komp. C),
- Die wesentlichen Merkmale des Bausatzes, die sich aus dem Bewertungsverfahren gemäß EAD 160086-01-0301 ergeben, sind in Anhang C17 C29 aufgeführt.



Seite 4 von 46 | 6. Dezember 2024

2 Spezifizierung des Verwendungszwecks gemäß dem anwendbaren Europäischen Bewertungsdokument

Der Bausatz wird zur Verstärkung des Zugbewehrungsbereichs von Betonelementen wie Balken, Platten, Wänden und Stützen verwendet. Der Bausatz soll dazu beitragen, die Tragfähigkeit von statisch und quasi-statisch belasteten Betonelementen entsprechend den Bemessungsregeln zu erhöhen. Der Bausatz umfasst zwei verschiedene Arten von Verstärkungsmethoden, wie in den Anhängen A4 und A5 dargestellt, bei denen CFK-Lamellen gemäß der Montageanleitung des Herstellers (MPII) entweder schubfest auf die vorbereitete Betonoberfläche geklebt (EB) oder in gefräste Schlitze senkrecht zur Betonoberfläche verklebt (NSM) werden.

Falls die geforderten Oberflächenbedingungen aufgrund von Mängeln und Beschädigungen des Betonelements nicht erfüllt sind, kann das im Bausatz enthaltene Betonreparaturmörtelsystem (Komponenten C und D), normaler Beton oder Spritzbeton (beides nicht Teil des Bausatzes) verwendet werden, um den Zustand der Betonoberfläche zu verbessern, bevor die CFK-Lamellen nach der Montageanleitung des Herstellers und nach den nationalen Vorschriften auf die instandgesetzte Betonoberfläche appliziert werden.

Die in Anhang 3 angegebenen Leistungen gelten nur, wenn der Bausatz in Übereinstimmung mit den im Anhang B und den in den Montageanleitungen genannten Spezifikationen und Bedingungen verwendet wird. Unabhängig vom Anhang B und von den Montageanleitungen sind die nationalen Vorschriften zu beachten.

Die Verifizierungen und Bewertungsverfahren, auf denen diese Europäische Technische Bewertung beruht, führen zu der Annahme einer Lebensdauer des Bausatzes von mindestens 25 Jahren im eingebauten Zustand, vorausgesetzt, dass der Bausatz sachgemäß eingebaut und verwendet wird. Diese Bestimmungen beruhen auf dem derzeitigen Stand der Technik und den verfügbaren Kenntnissen und Erfahrungen. Die Angaben zur Lebensdauer des Bauprodukts sind weder als Garantie des Produktherstellers noch als Garantie der Technischen Bewertungsstelle, die diese ETA ausstellt, zu verstehen, sondern dienen lediglich dazu, die erwartete wirtschaftlich angemessene Lebensdauer des Bauprodukts auszudrücken.



Seite 5 von 46 | 6. Dezember 2024

3 Leistung des Produkts und Angaben der Methoden ihrer Bewertung

3.1 Mechanische Festigkeit und Standsicherheit (BWR 1)

Wesentliches Merkmal	Bewertungsmethode gemäß EAD 160086-01-0301	Leistung
Glasübergangstemperatur des Klebstoffs FRS-CS	2.2.1	siehe Anhang C2
Glasübergangstemperatur des Reparaturmörtels FRS-PC 11	2.2.1	siehe Anhang C4
Biegezugfestigkeit und Druckfestigkeit des Klebstoffs FRS-CS	2.2.2	siehe Anhang C5 und C6
Biegezugfestigkeit und Druckfestigkeit des Reparaturmörtels FRS-PC 11	2.2.2	siehe Anhang C7 und C8
Biegezugfestigkeit und Druckfestigkeit des Klebstoffs FRS-CS, ausgehärtet bei der Mindesttemperatur für die Installation in Abhängigkeit von der Aushärtezeit	2.2.3	siehe Anhang C5 und C6
Biegezugfestigkeit und Druckfestigkeit des Reparaturmörtels FRS-PC 11, ausgehärtet bei der Mindesttemperatur für die Installation in Abhängigkeit von der Aushärtezeit	2.2.3	siehe Anhang C7 und C8
Elastizitätsmodul, Zugfestigkeit und Bruchdehnung der CFK-Lamellen	2.2.4	Siehe Anhang C10 und C11
Beständigkeit der CFK-Lamellen in alkalischer Umgebung bei maximaler Anwendungstemperatur für den vorgesehenen Verwendungszweck	2.2.5	siehe Anhang C12 bis C15
Beständigkeit der CFK-Lamellen in alkalischer Umgebung unter Dauerlast bei maximaler Anwendungstemperatur für den vorgesehenen Verwendungszweck	2.2.6	keine Leistung bewertet
Abreißfestigkeit des bei Standardklima ausgehärteten Bausatzes	2.2.7	siehe Anhang C17
Abreißfestigkeit des Bausatzes nach niederzyklischen Ermüdungsbeanspruchung	2.2.8	siehe Anhang C18
Abreißfestigkeit des Bausatzes nach Dauerbelastung unter rauen klimatischen Bedingungen	2.2.9	keine Leistung bewertet
Abreißfestigkeit des bei minimaler Installationstemperatur ausgehärteten Bausatzes in Abhängigkeit der Aushärtezeit	2.2.10	siehe Anhang C19
ere wesentliche Merkmale von nur auf die Oberf	läche geklebten CFK-La	mellen
Scherfestigkeit der Verankerung der auf Beton aufgeklebten CFK-Lamellen	2.2.11	siehe Anhang C20 bis C28
Ermüdungsverhalten der Verankerung von schubfest auf Beton geklebten CFK-Lamellen	2.2.12	keine Leistung bewertet
	Glasübergangstemperatur des Klebstoffs FRS-CS Glasübergangstemperatur des Reparaturmörtels FRS-PC 11 Biegezugfestigkeit und Druckfestigkeit des Klebstoffs FRS-CS Biegezugfestigkeit und Druckfestigkeit des Reparaturmörtels FRS-PC 11 Biegezugfestigkeit und Druckfestigkeit des Klebstoffs FRS-CS, ausgehärtet bei der Mindesttemperatur für die Installation in Abhängigkeit von der Aushärtezeit Biegezugfestigkeit und Druckfestigkeit des Reparaturmörtels FRS-PC 11, ausgehärtet bei der Mindesttemperatur für die Installation in Abhängigkeit von der Aushärtezeit Elastizitätsmodul, Zugfestigkeit und Bruchdehnung der CFK-Lamellen Beständigkeit der CFK-Lamellen in alkalischer Umgebung bei maximaler Anwendungstemperatur für den vorgesehenen Verwendungszweck Beständigkeit der CFK-Lamellen in alkalischer Umgebung unter Dauerlast bei maximaler Anwendungstemperatur für den vorgesehenen Verwendungszweck Abreißfestigkeit des bei Standardklima ausgehärteten Bausatzes Abreißfestigkeit des Bausatzes nach niederzyklischen Ermüdungsbeanspruchung Abreißfestigkeit des Bausatzes nach Dauerbelastung unter rauen klimatischen Bedingungen Abreißfestigkeit des bei minimaler Installationstemperatur ausgehärteten Bausatzes in Abhängigkeit der Aushärtezeit ere wesentliche Merkmale von nur auf die Oberf Scherfestigkeit der Verankerung der auf Beton aufgeklebten CFK-Lamellen Ermüdungsverhalten der Verankerung von	Glasübergangstemperatur des Klebstoffs EAD 160086-01-0301



Seite 6 von 46 | 6. Dezember 2024

Nr.	Wesentliches Merkmal	Bewertungsmethode gemäß EAD 160086-01-0301	Leistung			
Weite	Weitere wesentliche Merkmale von nur in Schlitze verklebten CFK-Lamellen					
16	Bruchlasten der Endverankerung von in Schlitze verklebten CFK-Lamellen	2.2.13	siehe Anhang C29			
17	Dauerbelastung der Endverankerung von in Schlitze verklebten CFK-Lamellen	2.2.14	keine Leistung bewertet			

3.2 Brandschutz (BWR 2)

Nr.	Wesentliches Merkmal	Bewertungsmethode gemäß EAD 160086-01-0301	Leistung
18	Brandverhalten	2.2.15	keine Leistung bewertet

4 Angewandtes System zur Bewertung und Überprüfung der Leistungsbeständigkeit mit der Angabe der Rechtsgrundlage

Gemäß dem Europäischen Bewertungsdokument EAD 160086-01-0301 gilt folgende Rechtsgrundlage: [2000/606/EC].

Folgendes System ist anzuwenden: 1+

Für die Durchführung des Systems zur Bewertung und Überprüfung der Leistungsbeständigkeit erforderlich technische Einzelheiten gemäß anwendbarem Europäischen Bewertungsdokument

Technische Einzelheiten, die für die Durchführung des Systems zur Bewertung und Überprüfung der Leistungsbeständigkeit notwendig sind, sind Bestandteil des Kontrollplans, der beim Deutschen Institut für Bautechnik hinterlegt ist.

Ausgestellt in Berlin am 6. Dezember 2024 vom Deutschen Institut für Bautechnik

LBD Dipl.-Ing. Andreas Kummerow Beglaubigt:
Abteilungsleiter Alex



Übersicht des	"fischer (C-Fiber Fo	rce Streng	thening Syster	ns" – System	Komponente	n (Teil I)
Komponenten gemäß EAD		Komp. A		Komp. B	Komp. C	Komp. D	Komp. E
Produkt- bezeichnung	FRS-L-H CFRP strip	FRS-L-S CFRP strip	FRS-L-S NSM CFRP strip	FRS-CS Epoxy Mortar	FRS-PC 11 Epoxy Repair Mortar	FRS-BA Bonding Agent	FRS-CA Cleaning Agent
Funktion	Unidirektion Kohlensto Epoxidhar	fffaserverstä	rkte	Klebstoff für FRS-L-S und FRS-L-H CFK- Lamellen	Betonersatz- system auf Epoxidharz- basis	Haftbrücke für den FRS- PC 11 Reparatur- mörtel	Reinigungs- mittel für CFK- Lamellen
Materialtyp	_	eter Verbund nstofffasern zmatrix		Raum- temperatur- härtendes Epoxidharz mit miner- alischen Füllstoffen	Raum- temperatur- härtendes Epoxidharz mit miner- alischen Füllstoffen	Raum- temperatur- härtendes Epoxidharz mit miner- alischen Füllstoffen	Organisches Lösungs- mittel
Anwendungs- typ*	EB	ЕВ	NSM	EB & NSM	EB & NSM	EB & NSM	EB & NSM
Verpackungs- einheit	100 m Coil oder 150 m Coil**		5 kg Eimer 10 kg Eimer 585 ml Kartusche	11 kg Eimer	5 kg Eimer	500 ml Sprühdose	
Haltbarkeit	Unbegren	zt		36 Monate	36 Monate	36 Monate	36 Monate
Lagerungs- bedingungen	5 to 50 °C, trocken und UV- geschützt		5 to 40 °C	5 to 40 °C	5 to 40 °C	5 to 40 °C	
Anwendungs- temperatur	10 to 40 °C		10 to 40 °C	10 to 40 °C	10 to 40 °C	10 to 40 °C	
Verwendungs- temperatur (nach Aushärten)	- 25 to 40	°C		- 25 to 40 °C	- 25 to 40 °C	- 25 to 40 °C	Nicht anwendbar

^{*}EB: Schubfest auf die Oberfläche geklebte CFK-Lamelle; NSM: In Schlitze verklebte CFK-Lamelle

fischer C-Fiber Force Strengthening System	
Produktbeschreibung Systemkomponenten und technische Details	Anhang A1

^{**}Die Länge der Coils unterschiedlicher Geometrien sind in den zugehörigen technischen Datenblättern spezifiziert.

Produktbeschreibung

Systemkomponenten und technische Details

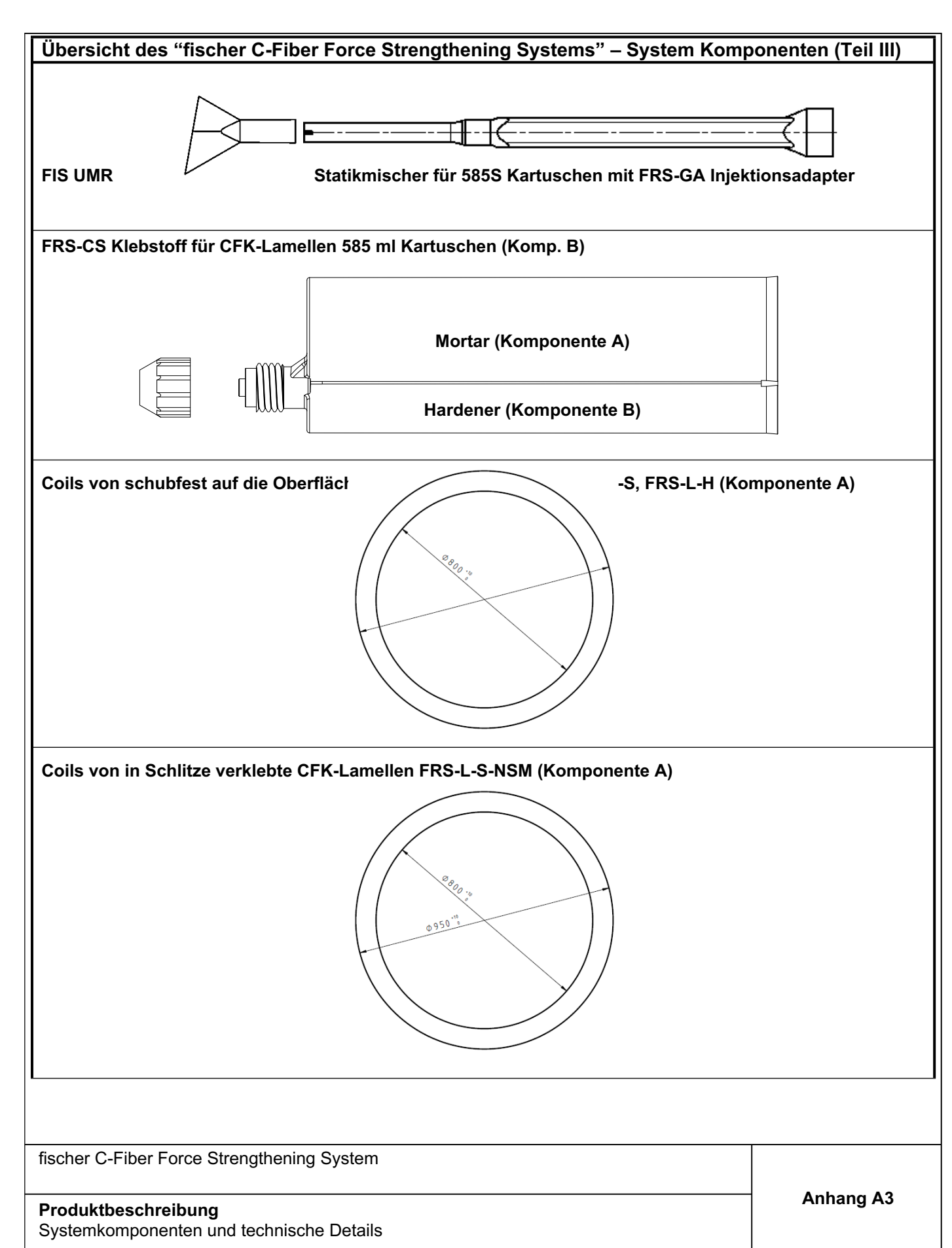


Übersicht des "fischer C-Fiber Force Strengthening Systems" – System Komponenten (Teil II) FRS-CS Klebstoff für CFK-Lamellen (Komp. B) 10 kg Eimer 5 kg Eimer (98) FRS-BA Haftbrücke (Komp. D) 5 kg Eimer FRS-PC 11 Reparaturmörtel (Komp. C) 11 kg Eimer FRA-CA Reinigungsmittel (Komp. E) 500 ml Sprühdose fischer C-Fiber Force Strengthening System

Z197698.24 8.03.01-25/20

Anhang A2







Übersicht des "fischer C-Fiber Force Strengthening Systems" – Verstärkungstechniken (Teil I)

Schubfest auf die Oberfläche geklebte CFK-Lamellen

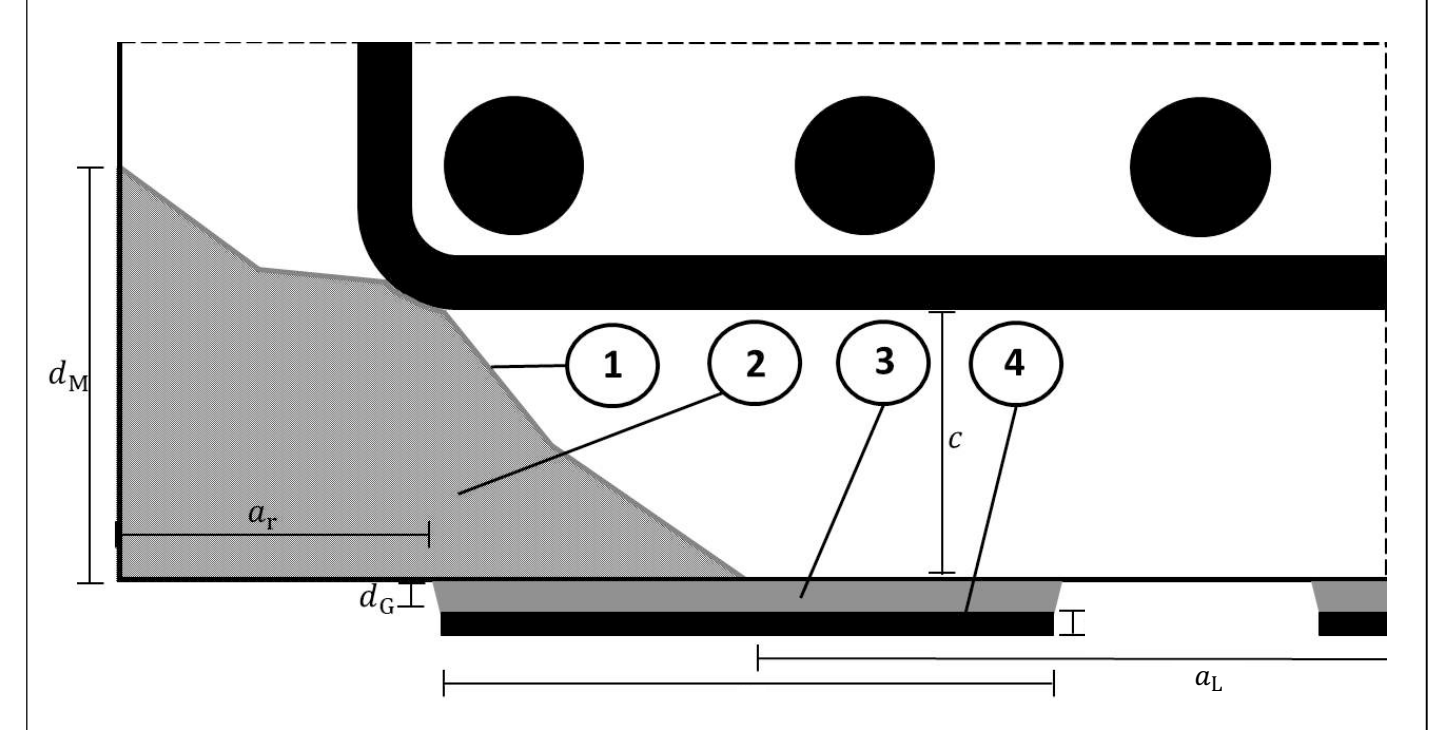


Bild A4.1: Querschnitt eines Stahlbetonbauteils verstärkt mit schubfest auf die Oberfläche geklebten FRS-L-S and FRS-L-H CFK-Lamellen mit FRS-CS Epoxidharzklebstoff und (optionaler) vorangegangener Betonreparatur mit dem Betonersatzsystem FRS-PC 11 und der Haftbrücke FRS-BA.

Legende

- c Betondeckung der Bewehrung
- $a_{
 m r}$ Randabstand der schubfest auf die Oberfläche geklebten CFK-Lamellen zur Bauteilkante
- a_L Achsabstand von benachbarten CFK-Lamellen (Mittelachse zu Mittelachse)
- d_{R} Schichtdicke oder Verbrauch der Haftbrücke FRS-BA
- $d_{
 m M}$ Schichtdicke des Reparaturmörtels FRS-PC 11
- $d_{
 m G}$ Schichtdicke des Klebstoffs FRS-CS
- t_{I.} Dicke der schubfest auf die Oberfläche geklebten CFK-Lamelle FRS-L-S oder FRS-L-H
- $b_{
 m L}$ Breite der schubfest auf die Oberfläche geklebten CFK-Lamelle FRS-L-S oder FRS-L-H

1 Komponente D - FRS-BA Haftbrücke: Verbrauch $d_{\rm D}$: 500 g/m² - 800 g/m² 2 Komponente C - FRS-PC 11 Reparaturmörtel: Schichtdicke $d_{\rm M}$: 4 mm - 30 mm 3 Komponente B - FRS-CS Klebstoff: Schichtdicke $d_{\rm G}$: 1 mm - 5 mm

Komponente b - FK3-C3 Kiebstoii. Schichtdicke $a_{\rm G}$. Thiri - 3 min

4 Komponente A - FRS-L-S/FRS-L-H CFK-Lamelle: Dicke t_L : 1,2 mm / 1,4 mm (\leq 2 Lagen)

fischer C-Fiber Force Strengthening System	
Produktbeschreibung Systemkomponenten und technische Details	Anhang A4



Übersicht des "fischer C-Fiber Force Strengthening Systems" – Verstärkungstechniken (Teil II)

In Schlitze verklebte CFK-Lamellen

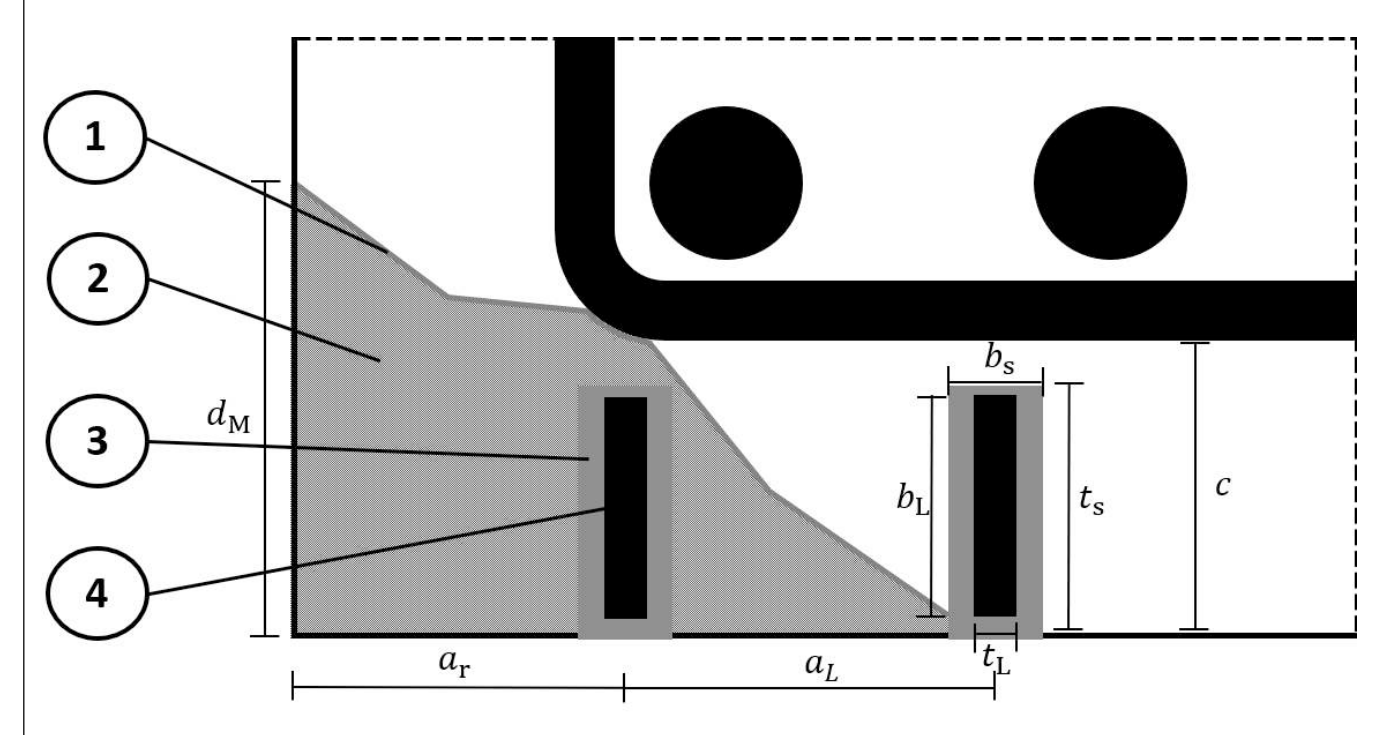


Abbildung A5.1: Querschnitt eines Stahlbetonbauteils verstärkt mit FRS-L-S NSM in Schlitze verklebten CFK-Lamellen mit dem FRS-CS Epoxidharzklebstoff und (optionaler) vorangegangener Betonreparatur mit dem Betonersatzsystem FRS-PC 11 und der Haftbrücke FRS-BA.

Legende

- С Betondeckung der Bewehrung
- Randabstand der in Schlitze verklebten CFK-Lamellen zur Bauteilkante $a_{\rm r}$
- Achsabstand von benachbarten CFK-Schlitzlamellen (Mittelachse zu Mittelachse) $a_{\rm L}$
- Schichtdicke bzw. Verbrauch der Haftbrücke FRS-BA d_{B}
- Schichtdicke des Reparaturmörtels FRS-PC 11 d_{M}
- Schlitzbreite $t_L + 1 \text{ mm} \le b_s \le t_L + 3 \text{ mm}$ $b_{\rm s}$
- Schlitztiefe $t_S \ge b_L + 3 \text{ mm}$ $t_{\rm s}$
- Dicke der in Schlitze verklebte Lamelle $t_{\rm L}$
- Breite der in Schlitze verklebten Lamelle $b_{\rm L}$

 $500 \text{ g/m}^2 - 800 \text{ g/m}^2$ 1 Komponente D - FRS-BA Haftbrücke: Verbrauch $\rho_{\rm D}$: 2

Schichtdicke $d_{\rm M}$: Komponente C - FRS-PC 11 Reparaturmörtel: 4 mm - 30 mm

3 Komponente B - FRS-CS Klebstoff: Verbrauch $\rho_{\rm B}$: 0.06 kg/m - 0.20 kg/m

Komponente A - FRS-L-S NSM CFK-Lamelle: Dicke: t_I: 1,2 mm / 1,4 mm / 1,7 mm

fischer C-Fiber Force Strengthening System Anhang A5 Produktbeschreibung Systemkomponenten und technische Details



Übersicht des "fischer C-Fiber Force Strengthening Systems" – Spezifikation

Spezifikation des Verwendungszweckes

Das "fischer C-Fiber Force Strengthening System" wird zur statischen Verstärkung des Zugbewehrungsbereichs von Beton-, Stahlbeton und Spannbetonbauteilen wie Balken, Platten, Wänden und Stützen eingesetzt. Das Verstärkungssystem trägt zur Erhöhung der Tragfähigkeit bei statischer, quasi-statischer und hochzyklischer Ermüdungsbeanspruchung von Stahlbeton- und Spannbetonelementen gemäß den Bemessungsregeln bei.

Statische Bemessung

Die statische Bemessung von Bewehrungsanordnungen mit dem "fischer C-Fiber Force Strengthening System" durch schubfest auf die Oberfläche geklebte und durch in Schlitze verklebte CFK-Lamellen liegt in der Verantwortung des zuständigen erfahrenen Tragwerksplaners gemäß den nationalen oder internationalen Richtlinien und Vorschriften in Verbindung mit dieser Europäischen Technischen Bewertung, sowie technischen Zeichnungen und der Montageanleitung(en) des Herstellers. Die fischer REINFORCE-FIX® Bemessungssoftware kann für die Vorbemessung der Bewehrungsanordnungen für Stahlbetonbauteile herangezogen werden und zur Auswahl und Dimensionierung der Verstärkung beitragen.

Materialien

Der Verwendungszweck des in dieser ETA behandelten Verstärkungssystems umfasst Betonelemente aus normalem Beton, Stahlbeton und Spannbeton, der Betonfestigkeitsklassen C12/15 bis C50/60 nach EN 206-1:2000 oder neuer, mit einer mittleren Oberflächenzugfestigkeit von mindestens ≥ 1,0 N/mm² bei ausreichend ebener und glatter Oberfläche. Bei der Verwendung höherer Oberflächenzugfestigkeiten in der Tragwerksplanung sind diese Werte am zu verstärkenden Betonbauteil durch Messung der Verbundfestigkeit in Betonabreißprüfung nach EN 1542 nachzuweisen. Die Entscheidung über die Eignung des zu verstärkenden Bauteils und über die angemessene Vorbehandlung der Betonoberfläche obliegt dem zuständigen erfahrenen Tragwerksplaner.

Einbau- und Verwendungsbedingungen

Die Installation ist von entsprechend qualifiziertem Personal mit nachgewiesener Sachkunde unter der Aufsicht des verantwortlichen Tragwerksplaners auszuführen. Die Montagearbeiten sind entsprechend der in der Tragwerksplanung vorgegebenen Anordnung ohne Änderungen oder Austausch der in der Bemessung definierten und berücksichtigten Materialien und Geometrien auszuführen. Alle im "fischer C-Fiber Force Strengthening System" enthaltenen Materialien sind ohne Manipulationen oder Abwandlungen zu verwenden.

Die CFK-Lamellen sind nur in den Breiten gemäß Anhang C9 erhältlich. Die Breite der CFK-Lamelle darf auf der Baustelle nicht verändert werden. Die CFK-Lamellen können gemäß der Montageanleitung des Herstellers (MPII) auf die erforderliche Länge zugeschnitten werden.

Lagerung, Transport, Handhabung und Anmischen, sowie die Installation müssen gemäß den technischen Datenblättern und den Montageanleitung des Herstellers (MPII) und in Übereinstimmung mit den geltenden nationalen und internationalen Vorschriften durchgeführt werden.

Der Temperaturbereich für die Verwendung des "fischer C-Fiber Force Strengthening System" nach Aushärten liegt bei - 25 °C bis + 40 °C nach vollständiger Aushärtung der Komponenten. Tragfähigkeitsminderungen durch Temperatur- und andere Umwelteinflüsse sind bei der Bemessung der Konstruktion zu berücksichtigen.

Das "fischer C-Fiber Force Strengthening System" darf in einem Umgebungs- und Materialtemperaturbereich von + 10 °C - + 40 °C verarbeitet werden, wenn sowohl die Oberflächentemperatur als auch die Umgebungstemperatur oberhalb des Taupunktes liegen. Die temperaturabhängigen Aushärtezeiten der Systemkomponenten sind im Folgenden aufgelistet:

Temperatur:	≥ 10 °C	≥ 20 °C	40 °C
FRS-BA	≥ 96 h	≥ 48 h	≥ 24 h
FRS-PC 11	≥ 96 h	≥ 48 h	≥ 24 h
FRS-CS	≥ 48 h	≥ 24 h	≥ 16 h

Die Aushärtung des Bausatzes sollte aufgrund oben genannter Aushärtezeiten mindestens 48 Stunden bei Standardbedingungen (21 °C) oder mindestens 96 Stunden bei minimaler Einbautemperatur (10 °C) betragen, je nach den individuellen Wetterbedingungen. Die Qualitätssicherung der Applikation sollte vom verantwortlichen Bauingenieur festgelegt und durchgeführt werden, um die korrekte Anordnung, Oberflächenvorbereitung, Installation und Aushärtung des Bausatzes in Übereinstimmung mit den MPII des Herstellers und ggf. nationalen Vorschriften sicher zu stellen.

fischer C-Fiber Force Strengthening System	
Verwendungszweck Spezifikationen und Anwendungsbedingungen	Anhang B1



Spezifikationen and Anwendungsbedingung	en des Vers	stärkı	ıngsbaus	atzes					
Betonreprofilierung mit Betonreparaturmört					ftbrüc	ke FRS-E	BA (K	omp. D)	
/orbehandlung der Betonoberfläche Entfernen loser Betonpartikel, Reinigung mit einer Stahlbürste und einem Staubsauger oder mit Druckluft.									
Betoninstandsetzungssystem							rücke	FRS-BA	
Verbrauch der Haftbrücke FRS-BA $d_{\rm B}$ [kg/m ²]	Reparaturmörtel FRS-PC 11 appliziert mit Haftbrücke FRS-BA 0,5 – 0,8								
Schichtdicke des Reparaturmörtels	4 - 30								
FRS-PC 11 $d_{\rm M}$ [mm]									
Schichtdicke des Reparaturmörtels FRS-PC 11 $d_{\rm M}$ [mm]	5 10 15 20			20		30			
Verbrauch an Reparaturmörtel FRS-PC 11 in Abh. der Schichtdicke [kg/m²]	10	20		30		40		60	
Der tatsächliche Verbrauch kann in Abhängigke	eit der Oberfl	ächer	nrauhigkei	t des l	3etons	ubstrats	variier	en.	
Verstärkung mittels schubfest auf die Oberf	läche gekle	bten F	FRS-L-S /	FRS-	L-H CI	FK-Klebe	lamel	len (Komp.	
A) & FRS-CS (Komp. B)	Completed	lass I s	 	.la:-	0-1-7	-:f-,-	ki.	اماماداداد	
Vorbehandlung des Betonoberfläche	Sandstrah		Kugelstrah		Schle		Nac	delpistole	
01:14:11 1 1/4:1 // 550 00 15	Reinigung	mıttel	s Staubsa	uger o	oder D	ruckluft			
Schichtdicke des Klebstoffs FRS-CS $d_{ m G}$ [mm]	1 - 5	I					ı		
Verbrauch an Klebstoff FRS-CS in Abh. der	1 mm	2 m	m	3 mn		4 mm		5 mm	
Schichtdicke [kg/m]	Dicke	Dick	ке	Dicke	9	Dicke		Dicke	
FRS-L-S / FRS-L-H b_1 = 50 mm	0,10	0,20)	0,30		0,40		0,50	
FRS-L-S / FRS-L-H b_1 = 75 mm	0,15	0,30)	0,45		0,60		0,75	
FRS-L-S / FRS-L-H b_l = 100 mm	0,20	0,40)	0,60		0,80		1,00	
Minimaler Randabstand $a_{ m r}$ Betondeckung der innenliegenden Bewehrung									
Der tatsächliche Verbrauch kann in Abhängigkeit der Oberflächenrauhigkeit des Betonsubstrats variieren.									
Verstärkung mittels in Schlitze verklebten F B)	RS-L-S NSM			melle	n (Ko	mp. A) &	FRS-	CS (Komp.	
Vorbehandlung des Betonsubstrats	-			L D	٠١٤١				
Breite und Dicke der CFK-Lamelle	Reinigung	uer S			Kiuit	20) v 1 0		
	10 x 1,7		15 x	1,4		20	x 1,2		
[mm x mm]	10		10				<u> </u>		
Empfohlene Schlitztiefe t _s [mm]	13		18	1 1			23		
Empfohlene Schlitzbreite b _s [mm]	2,7 - 4,7	775	2,4 –		00		2,2 – 4,2		
$\begin{array}{c ccccccccccccccccccccccccccccccccccc$									
Minimaler Schlitzabstand a_1	Mindesten	s a₁≥	b_1 , ohne T	raglas	stabmi	nderuna	$a_1 \ge 2$	· b ₁	
Mindestbetondeckung c	Mindesten Gerätegen	s <i>c</i> ≥ <i>t</i>	t _s + 5 mm,						
Der tatsächliche Verbrauch kann in Abhängigke	Ţ			variie	ren.				
fischer C-Fiber Force Strengthening System									
Verwendungszweck Spezifikationen und Anwendungsbedingungen						An	hang B2		



Graphische Darstellung der Verstärkungsmethode mit schubfest auf die Oberfläche geklebten CFK-Lamellen – (Teil I)

Darstellung der einzelnen Arbeitsschritte der Betonreparatur und Verstärkung von Betonbauteilen mit dem "fischer C-Fiber Force Strengthening System" mit schubfest auf die Oberfläche geklebten CFK-Lamellen

Die hier dargestellten Installationsschritte ersetzen nicht die vollständigen Installationsanleitungen und sind nicht in vollständiger Ausführlichkeit ausgeführt. Detaillierte Informationen zur Anwendung und Verarbeitung finden Sie in den entsprechenden Produkt-Installationsanleitungen (MPII) des Herstellers.

(WFTI) des l'erstellers.	
	Auftragen der Haftbrücke FRS-BA als dünne Schicht auf gereinigte, gebrochene oder beschädigte Stellen des Betons sowie auf entrostete, eingebettete, offenliegende Bewehrungsstäbe als Korrosionsschutz. (Die Notwendigkeit der Betoninstandsetzung ist abhängig vom tatsächlichen Zustand des zu verstärkenden Betonelements)
White the second	Applikation des Reparaturmörtels FRS-PC 11 auf den geschädigten Beton, direkt auf die noch nasse, nicht ausgehärtete Haftbrücke aufgebracht. (Die Notwendigkeit der Betoninstandsetzung ist abhängig vom tatsächlichen Zustand des zu verstärkenden Betonelements)
	Vorbereitung und Aufrauen der zu verstärkenden Betonoberfläche für die Verklebung der CFK-Lamelle durch Sandstrahlen, Kugelstrahlen, Schleifen in den Bereichen, in denen die CFK-Streifen angebracht werden sollen. Nach dem Aufrauen müssen die groben Betonzuschläge mit Korndurchmesser ≥ 4 mm sichtbar sein.
	Auftragen einer Kratzspachtelung des Klebstoffs FRS-CS auf die vorbereitete Betonoberfläche, sowie dachförmig auf die Oberfläche der FRS-L-S oder FRS-L-H CFK-Lamelle in Höhen von 2 mm – 10 mm.
	Aufbringen der FRS-L-S oder FRS-L-H CFK-Lamellen auf die Oberfläche des zu verstärkenden Betonelements. Nach dem Aufbringen und andrücken der CFK-Lamellen auf die Betonoberfläche muss überschüssiger Klebstoff an den Seiten der CFK-Lamellen austretend sichtbar sein.

fischer C-Fiber Force Strengthening System	
Überblick über die Schritte der Instandsetzung und Verstärkung von Betonbauwerken mit schubfest auf die Oberfläche geklebten CFK-Lamellen	Anhang B3



Graphische Darstellung der Verstärkungsmethode mit schubfest auf die Oberfläche geklebten CFK-Lamellen – (Teil II)

Darstellung der einzelnen Arbeitsschritte der Betonreparatur und Verstärkung von Betonbauteilen mit dem "fischer C-Fiber Force Strengthening System" mit schubfest auf die Oberfläche geklebten CFK-Lamellen

Die hier dargestellten Installationsschritte ersetzen nicht die vollständigen Installationsanleitungen und sind nicht in vollständiger Ausführlichkeit ausgeführt. Detaillierte Informationen zur Anwendung und Verarbeitung finden Sie in den entsprechenden Produkt-Installationsanleitungen (MPII) des Herstellers.

Betoninstandsetzung mit dem Epoxidharzbasierten Reparaturmörtel FRS-PC 11 und der Haftbrücke FRS-BA:

Anmischen des Reparaturmörtels FRS-PC 11 (Komponente C):









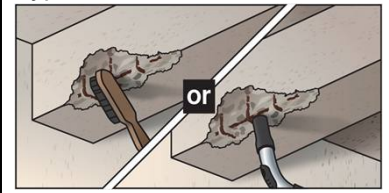
Anmischen Haftbrücke FRS-BA (Komponente D):



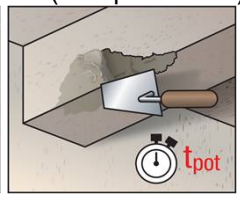


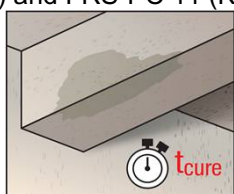


Typischer Ablauf der Betoninstandsetzung mit FRS-BA (Komponente D) and FRS-PC 11 (Komponente C):

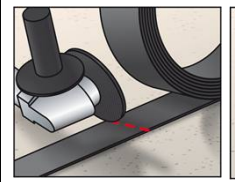








Ablängung der FRS-L-S oder FRS-L-H CFK-Lamelle und Anmischen des Klebstoffs FRS-CS





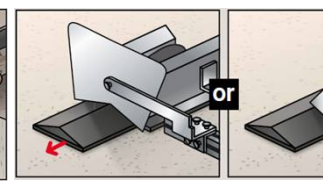
















Weitere Informationen (z.B. bezüglich Topfzeit, Aushärtezeit, etc.) der Systemkomponenten FRS-BA, FRS-PC 11, FRS-CS können den zugehörigen technischen Datenblättern, Etiketten und der Installationsanleitung (MPII) entnommen werden.

fischer C-Fiber Force Strengthening System

Überblic

über die Schritte der Instandsetzung und Verstärkung von Betonbauwerken mit schubfest auf die Oberfläche geklebten CFK-Lamellen

Anhang B4



Graphische Darstellung der Verstärkungsmethode mit in Schlitze verklebten CFK-Lamellen (Teil I) Darstellung der einzelnen Arbeitsschritte der Betonreparatur und Verstärkung von Betonbauteilen mit dem "fischer C-Fiber Force Strengthening System" mit in Schlitze verklebten CFK-Lamellen Die hier dargestellten Installationsschritte ersetzen nicht die vollständigen Installationsanleitungen und sind nicht in vollständiger Ausführlichkeit ausgeführt. Detaillierte Informationen zur Anwendung und Verarbeitung finden Sie in den entsprechenden Produkt-Installationsanleitungen (MPII) des Herstellers. Auftragen der Haftbrücke FRS-BA als dünne Schicht auf gereinigte, gebrochene oder beschädigte Stellen des Betons sowie auf eingebettete, offenliegende Bewehrungsstäbe entrostete. Korrosionsschutz. (Die Notwendigkeit der Betoninstandsetzung ist abhängig vom tatsächlichen Zustand des zu verstärkenden Betonelements) Applikation des Reparaturmörtels FRS-PC 11 auf den geschädigten Beton, direkt auf die noch nasse, nicht ausgehärtete Haftbrücke (Die Notwendigkeit der Betoninstandsetzung ist abhängig vom tatsächlichen Zustand des zu verstärkenden Betonelements) Oberflächenpräparation durch fräsen der Schlitze definierter Breite und Tiefe in die Betondeckung. Die anschließende Reinigung der Schlitze kann nach entfernen loser Betonteile im Bereich des Schlitzes mittels Ausblasen mit Druckluft erfolgen. Die Schlitze werden vom Boden der Schlitze her vollständig und frei von Lufteinschlüssen auf ganzer Länge mit Klebstoff gefüllt bis Klebstoff aus dem Schlitz austritt. Die CFK-Lamelle wird mittig in den Schlitz eingeführt bis diese vollständig bündig im Schlitz eingebettet ist. Die Oberfläche wird abgezogen um überschüssigen Klebstoff zu entfernen und eine ebene Bauteiloberfläche zu gewährleisten.

fischer C-Fiber Force Strengthening System	
Überblick über die Schritte der Instandsetzung und Verstärkung von Betonbauwerken mit in Schlitze geklebten CFK-Lamellen	Anhang B5



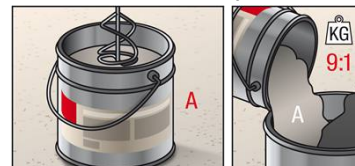
Graphische Darstellung der Verstärkungsmethode mit in Schlitze verklebten CFK-Lamellen (Teil II)

Darstellung der einzelnen Arbeitsschritte der Betonreparatur und Verstärkung von Betonbauteilen mit dem "fischer C-Fiber Force Strengthening System" mit in Schlitze verklebten CFK-Lamellen

Die hier dargestellten Installationsschritte ersetzen nicht die vollständigen Installationsanleitungen und sind nicht in vollständiger Ausführlichkeit ausgeführt. Detaillierte Informationen zur Anwendung und Verarbeitung finden Sie in den entsprechenden Produkt-Installationsanleitungen (MPII) des Herstellers.

Betoninstandsetzung mit dem Epoxidharzbasierten Reparaturmörtel FRS-PC 11 und der Haftbrücke FRS-BA:

Anmischen des Reparaturmörtels FRS-PC 11 (Komponente C):









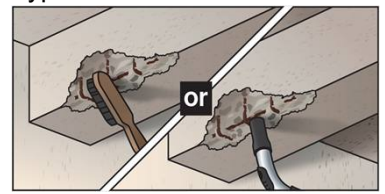
Anmischen Haftbrücke FRS-BA (Komponente D):



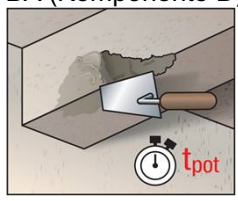


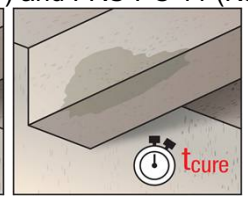


Typischer Ablauf der Betoninstandsetzung mit FRS-BA (Komponente D) and FRS-PC 11 (Komponente C):

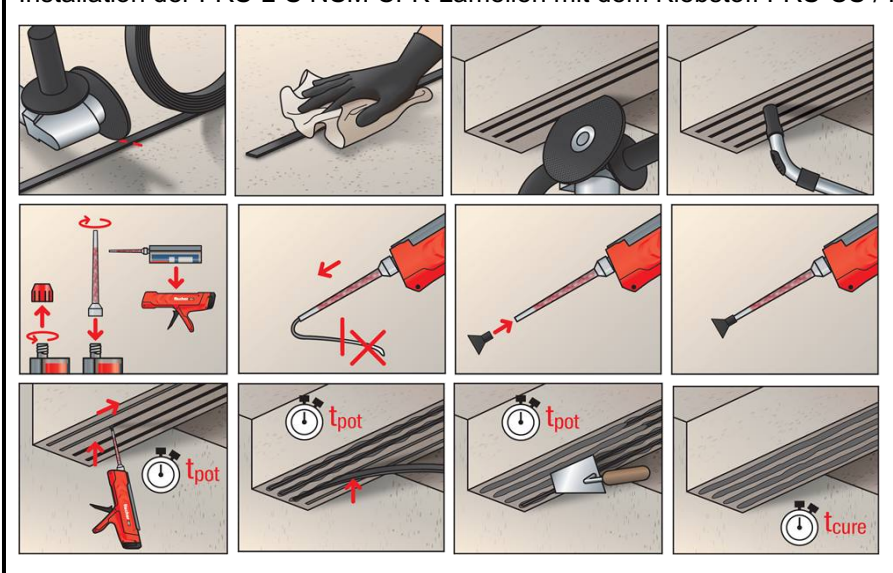








Installation der FRS-L-S NSM CFK-Lamellen mit dem Klebstoff FRS-CS / FRS-CS 585 S Kartuschensystem



fischer C-Fiber Force Strengthening System

Überblick

über die Schritte der Instandsetzung und Verstärkung von Betonbauwerken mit in Schlitze geklebten CFK-Lamellen

Anhang B6



Produktmerkmale des FRS-CS Klebstoffes	
Erscheinungsbild	
Komponente AKomponente BMischung von A und B (4:1)	Hochviskose, beige Paste mit sichtbaren Aggregaten Hochviskose, schwarze Paste mit sichtbaren Aggregaten Graue, hochviskose Paste mit sichtbaren Aggregaten
Dichte	
Komponente AKomponente BMischung von A und B (4:1)	1,92 g/cm ³ ± 0,05 g/cm ³ 1,63 g/cm ³ ± 0,05 g/cm ³ 1,86 g/cm ³ ± 0,05 g/cm ³
Mischungsverhältnis nach Gewicht	4:1
Elastizitätsmodul unter Druckbeanspruchung**	≥ 7500 MPa
Zugfestigkeit:***	≥ 35 MPa
Verarbeitungszeit - bei minimaler Installationstemperatur (10°C) und maximaler Verarbeitungsmenge (10 kg)* - bei normaler Umgebungstemperatur (21 °C) und maximaler Verarbeitungsmenge (10 kg)* - bei maximaler Installationstemperatur (40 °C) und maximaler Verarbeitungsmenge (10 kg)*	120 Min. 80 Min. 25 Min.
Mindestaushärtezeit - bei minimaler Verarbeitungstemperatur (10 °C) - bei standard Verarbeitungstemperatur (21 °C) - bei maximaler Verarbeitungstemperatur (40 °C)	4 Tage 2 Tage 1 Tag

^{*}nach EN ISO 9514.

fischer C-Fiber Force Strengthening System	
Produktbeschreibung Technische Parameter and Details des FRS-CS Klebstoffes	Anhang C1

^{**}nach EN 13412.

^{***}nach EN ISO 527-1, nach 7 Tagen unter Standardbedingungen



Glasübergangstemperatur des FRS-CS Klebstoffes				
Aushärtebedingungen und Aushärtezeiten		Glasübergangstem	peratur [°C]	
- 7 Tage Aushärtezeit bei 21 °C ± 2 °C, 50% r. F.	$T_{ m Ggi}$	54 – 59 *; 55 – 59 *		
Die Glasübergangstemperatur wurde beim ersten Heizzykl	us gemesse	en.		
* Aufgrund der Nacherhärtung des Epoxidharzes, die der Messung der Glasübergangstemperatur überlagert is kann nur ein Temperaturbereich für die Glasübergangstemperaturen angegeben werden.				
kann nur ein Temperaturbereich für die Glasubergangstein	peraturen a	ngegeben werden.	_	
fischer C-Fiber Force Strengthening System				
Leistung			Anhang C2	
Glasübergangstemperatur des FRS-CS Klebstoffes, nach A	ushärtung t	oei Standardklima	Ailliang 02	
	-			



Erscheinungsbild	
- Komponente A	Hochviskose, weiße Paste
- Komponente B	Niederviskose, fließfähige, schwarze Flüssigkeit
- Komponente C	Rieselfähiger, grobkörniger Zuschlagsstoff von beige Farbe
- Mischung von A, B und C (3,6:0,4:7)	Hellgrauer, thixotroper Mörtel
Dicke	
- Komponente A	$2,12 \text{ g/cm}^3 \pm 0,05 \text{ g/cm}^3$
- Komponente B	$0,99 \text{ g/cm}^3 \pm 0,05 \text{ g/cm}^3$
- Komponente C	2,20 g/cm ³ ± 0,05 g/cm ³
- Mischung von A, B und C (3,6 : 0,4 : 7)	$2,12 \text{ g/cm}^3 \pm 0,05 \text{ g/cm}^3$
Mischungsverhältnis nach Gewicht	3,6:0,4:7
Elastizitätsmodul unter Druckbeanspruchung **	≥ 20.000 MPa
Minimale Verarbeitbarkeitszeit	
- bei minimaler Installationstemperatur (10°C) und maximaler Verarbeitungsmenge (11 kg)*	180 Min.
- bei normaler Umgebungstemperatur (21 °C) und maximaler Verarbeitungsmenge (11 kg)*	80 Min.
- bei maximaler Installationstemperatur (40°C) und maximaler Verarbeitungsmenge (11 kg)*	25 Min.
Mindestaushärtezeit	
- bei minimaler Verarbeitungstemperatur (10 °C)	4 Tage
- bei standard Verarbeitungstemperatur (21 °C)	2 Tage
- bei maximaler Verarbeitungstemperatur (40 °C)	1 Tag

^{*}Nach EN ISO 9514.

fischer C-Fiber Force Strengthening System	
Produktbeschreibung Technische Parameter and Details des FRS-PC 11 Reparaturmörtels	Anhang C3

^{**}Nach EN 13412.



shärtebedingungen und Aushärtezeiten		Glasübergangstemp	eratur [°C]
- 7 Tage Aushärtezeit bei 21 °C ± 2 °C, 50% r. F.	$T_{ m Ggi}$	59 – 63 *	
		59 – 63 *	
Glasübergangstemperatur wurde beim ersten Heizzykl	•		
ufgrund der Nacherhärtung des Epoxidharzes, die der N nn nur ein Temperaturbereich für die Glasübergangstem			eratur überlagert is
	<u> </u>		
			_
ner C-Fiber Force Strengthening System			



ebedingungen und Aushärtezeiten		Biegezugfestigkeit [N/mm²]
1 Tag Aushärtezeit bei 10 °C ± 2 °C, 50% r. F.	$f_{ m Gflij}$	26,0; 25,7; 25,6;
Mittelwert	$f_{ m Gflmj}$	25,8
Charakteristischer Wert (5 % Fraktilwert)	$f_{ m Gflkj}$	25,1
⁷ Tage Aushärtezeit bei 10 °C ± 2 °C, 50% r. F.	$f_{ m Gflij}$	34,2; 34,0; 32,4;
Mittelwert	$f_{ m Gflmj}$	33,5
Charakteristischer Wert (5 % Fraktilwert)	$f_{ m Gflkj}$	30,2
4 Tage Aushärtezeit bei 10 °C ± 2 °C, 50% r. F.	$f_{ m Gflij}$	34,6; 31,7; 33,2;
littelwert	$f_{ m Gflmj}$	33,2
Charakteristischer Wert (5 % Fraktilwert)	$f_{ m Gflkj}$	28,3
7 Tage Aushärtezeit bei 21 °C ± 2 °C, 50% r. F.	$f_{ m Gfli}$	34,0; 31,3; 29,5;
littelwert	$f_{ m Gtflm}$	31,6
harakteristischer Wert (5 % Fraktilwert)	$f_{ m Gflk}$	24,0

fischer C-Fiber Force Strengthening System	
Leistung Biegezugfestigkeit des FRS-CS Klebstoffes nach Aushärtung bei minimaler Installationstemperatur und bei Standardklima	Anhang C5



härtebedingungen und Aushärtezeiten		Druckfestigkeit [N/mm²]
- 1 Tag Aushärtezeit bei 10 °C ± 2 °C, 50% r. F.	f_{Gcij}	51,2; 50,1; 51,4; 48,7; 52,9; 47,5;
Mittelwert	$f_{ m Gcmj}$	50,3
Charakteristischer Wert (5 % Fraktilwert)	$f_{ m Gckj}$	46,0
7 Tage Aushärtezeit bei 10 °C ± 2 °C, 50% r. F.	f_{Gcij}	87,8; 85,9; 87,5; 84,3; 86,6; 82,6;
Mittelwert	$f_{ m Gcmj}$	85,8
Charakteristischer Wert (5 % Fraktilwert)	$f_{ m Gckj}$	81,4
14 Tage Aushärtezeit bei 10 °C ± 2 °C, 50% r. F.	f_{Gcij}	91,6; 91,3; 91,7; 90,1; 90,2; 89,1;
Mittelwert	$f_{ m Gcmj}$	90,7
Charakteristischer Wert (5 % Fraktilwert)	$f_{ m Gckj}$	88,4
7 Tage Aushärtezeit bei 21 °C ± 2 °C, 50% r. F.	$f_{ m Gci}$	89,9; 87,6; 89,8; 89,4; 88,8; 90,7;
Mittelwert	$f_{ m Gcm}$	89,4
Charakteristischer Wert (5 % Fraktilwert)	$f_{ m Gck}$	87,0

fischer C-Fiber Force Strengthening System	
Leistung Druckfestigkeit des FRS-CS Klebstoffes nach Aushärtung bei minimaler Installationstemperatur und bei Standardklima	Anhang C6



härtebedingungen und Aushärtezeiten		Biegezugfestigkeit [N/mm²]
1 Tag Aushärtezeit bei 10 °C ± 2 °C, 50% r. F.	$f_{ m Mflij}$	26,3; 25,7; 25,6;
Mittelwert	$f_{ m Mflmj}$	25,9
Charakteristischer Wert (5 % Fraktilwert)	$f_{ m Mflkj}$	24,6
7 Tage Aushärtezeit bei 10 °C ± 2 °C, 50% r. F.	$f_{ m Mflij}$	37,5; 36,9; 38,7;
Mittelwert	$f_{ m Mflmj}$	37,7
Charakteristischer Wert (5 % Fraktilwert)	$f_{ m Mflkj}$	34,6
14 Tage Aushärtezeit bei 10 °C ± 2 °C, 50% r. F.	$f_{ m Mflij}$	40,5; 43,0; 42,4;
Mittelwert	$f_{ m Mflmj}$	42,0
Charakteristischer Wert (5 % Fraktilwert)	$f_{ m Mflkj}$	37,6
7 Tage Aushärtezeit bei 21 °C ± 2 °C, 50% r. F.	$f_{ m Mfli}$	42,4; 42,3; 41,6;
Mittelwert	$f_{ m Mtflm}$	42,1
Charakteristischer Wert (5 % Fraktilwert)	$f_{ m Mflk}$	41,4

fischer C-Fiber Force Strengthening System	
Leistung Biegezugfestigkeit des FRS-PC 11 Reparaturmörtels nach Aushärtung bei minimaler Installationstemperatur und bei Standardklima	Anhang C7



ushärtebedingungen und Aushärtezeiten		Druckfestigkeit [N/mm²]
- 1 Tag Aushärtezeit bei 10 °C ± 2 °C, 50% r. F.	$f_{ m Mcij}$	91,4; 88,1; 87,8; 87,1; 86,9; 87,3;
Mittelwert	$f_{ m Mcmj}$	88,1
Charakteristischer Wert (5 % Fraktilwert)	$f_{ m Mckj}$	84,4
- 7 Tage Aushärtezeit bei 10 °C ± 2 °C, 50% r. F.	$f_{ m Mci}$	137,6; 137,1; 133,5; 135,6; 139,2; 134,3
Mittelwert	$f_{ m Mcm}$	136,2
Charakteristischer Wert (5 % Fraktilwert)	$f_{ m Mck}$	131,5
- 14 Tage Aushärtezeit bei 10 °C ± 2 °C, 50% r. F.	$f_{ m Mci}$	146,1; 146,6; 144,3; 143,4; 144,6; 143,8
Mittelwert	$f_{ m Mcm}$	144,8
Charakteristischer Wert (5 % Fraktilwert)	$f_{ m Mck}$	142,0
- 7 Tage Aushärtezeit bei 21 °C ± 2 °C, 50% r. F.	$f_{ m Mci}$	147,0; 150,2; 147,4; 148,4; 146,3; 152,6
Mittelwert	$f_{ m Mcm}$	148,7
Charakteristischer Wert (5 % Fraktilwert)	$f_{ m Mck}$	143,5

fischer C-Fiber Force Strengthening System	
Leistung Druckfestigkeit des FRS-PC 11 Reparaturmörtels nach Aushärtung bei minimaler Installationstemperatur und bei Standardklima	Anhang C8



Produktmerkmale der "FRS-L-H" CFK-Lamelle					
Anwendung	Schubfest auf d	Schubfest auf die Oberfläche geklebte CFK-Lamelle (Klebelamelle)			
Min. Coil-Innendurchmesser	≥ 800 mm				
Fasergehalt	≥ 67 % nach Vo	olumen*			
Glasübergangstemperatur	≥ 100 °C**				
Geometrie	Breite b_1 [mm]	Dicke t_1 [mm]	Querschnittsfläche [mm²]		
FRS-L-H 50 x 1,2 mm	50	1,2	60		
FRS-L-H 50 x 1,4 mm	50	1,4	70		
FRS-L-H 75 x 1,2 mm	75	1,2	90		
FRS-L-H 75 x 1,4 mm	75	1,4	105		
FRS-L-H 100 x 1,2 mm	100	1,2	120		
FRS-L-H 100 x 1,4 mm	100	1,4	140		

Produktmerkmale der "FRS-L-S" CFK-Lamelle						
Anwendung	Schubfest auf o	Schubfest auf die Oberfläche geklebte CFK-Lamelle (Klebelamelle)				
Min. Coil-Innendurchmesser	≥ 800 mm	≥ 800 mm				
Fasergehalt	≥ 67 % nach Vo	≥ 67 % nach Volumen*				
Glasübergangstemperatur	≥ 100 °C**	≥ 100 °C**				
Geometrie	Breite b_1 [mm]	Dicke t_l [mm]	Querschnittsfläche [mm²]			
FRS-L-S 50 x 1,2 mm	50	1,2	60			
FRS-L-S 50 x 1,4 mm	50	1,4	70			
FRS-L-S 75 x 1,2 mm	75	1,2	90			
FRS-L-S 75 x 1,4 mm	75	1,4	105			
FRS-L-S 100 x 1,2 mm	100	1,2	120			
FRS-L-S 100 x 1,4 mm	100	00 1,4 140				

Produktmerkmale der "FRS-	der "FRS-L-S NSM" CFK-Lamelle					
Anwendung	In Schlitze verk	In Schlitze verklebte CFK-Lamelle (Schlitzlamelle)				
Min. Coil-Innendurchmesser	≥ 800 mm	≥ 800 mm				
Fasergehalt	≥ 67 % nach Volumen*					
Glasübergangstemperatur	≥ 100 °C**					
Geometrie	Breite b_1 [mm] Dicke t_1 [mm] Querschnittsfläche [mm²]					
FRS-L-S NSM 10 x 1,7 mm	10	1,7	17			
FRS-L-S NSM 15 x 1,4 mm	15 1,4 21					
FRS-L-S NSM 20 x 1,2 mm	20					

Die CFK-Lamellentypen FRS-L-H und FRS-L-S / FRS-L-S NSM unterscheiden sich nur in der Art der verwendeten Fasern, sind aber in ihrem Matrixmaterial und Faservolumengehalt sowie im Herstellungsverfahren identisch.

fischer C-Fiber Force Strengthening System	
Produktbeschreibung Typen und Geometrien der CFK-Lamellen	Anhang C9

^{*}Nach EN 2564

^{**}Nach EN 12614



Technisches Merkmal		Leistung		
Elastizitätsmodul [kN/mm²]	E _{Li}	206; 206; 191; 199; 205; 194; 202; 195; 191; 191; 206; 201; 200; 199; 199; 209; 206; 208; 203; 205		
Mittelwert [kN/mm²]	E _{Lm}	201		
Zugfestigkeit [N/mm²]	$f_{ m Li}$	3499; 3513; 3084; 3226; 3385; 3524; 3230; 3289; 3317; 3196; 3607; 3031; 3679; 3302; 3554; 3609; 3601; 3774; 3369; 3429		
Mittelwert [N/mm²]	f_{Lm}	3411		
Charakteristischer Wert der Zugfestigkeit (5% Fraktilwert) [N/mm²]	$f_{ m Lk}$	3056		
Bruchdehnung [%]	$arepsilon_{ m Lui}$	1,80; 1,65; 1,67; 1,63; 1,64; 1,76; 1,60; 1,64; 1,86; 1,63; 1,71; 1,42; 1,76; 1,59; 1,71; 1,68; 1,70; 1,73; 1,59; 1,77		
Mittelwert [%]	$\varepsilon_{\mathrm{Lum}}$	1,68		

Die Zugeigenschaften im **Anhang C10** wurden aus fünf separaten Zugmessungen an allen charakteristischen Querschnitten des Lamellentyps "FRS-L-H" ermittelt.

fischer C-Fiber Force Strengthening System	
Leistung Elastizitätsmodul, Zugfestigkeit und Bruchdehnung der "FRS-L-H" CFK-Lamelle	Anhang C10



Technisches Merkmal		Leistung
Elastizitätsmodul [GPa]	E _{Li}	173; 169; 178; 170; 177; 177; 175; 167; 170; 178; 176; 178; 181; 177; 177; 175; 173; 178; 174; 170; 167; 169; 170; 170; 173; 176; 167; 163; 175; 166; 173; 173; 176; 173; 172; 171; 170; 174; 171; 169; 181; 178; 176; 177; 175; 177; 178; 174; 170; 174; 176; 178; 173; 181; 173; 173; 172; 170; 172; 174; 171; 170; 167; 176; 169; 171; 172; 170; 172; 171
Mittelwert [GPA]	E _{Lm}	173
Zugfestigkeit [MPa]	$f_{ m Li}$	2959; 3057; 2929; 3047; 2989; 3213; 3203; 3193; 3318; 3282; 3060; 3160; 3183; 2911; 3164; 3287; 3094; 2954; 3132; 2966; 2866; 2878; 2913; 2803; 3086; 3040; 2994; 2894; 3136; 2871; 3135; 3278; 3239; 3230; 3155; 3137; 3218; 3171; 3192; 3247; 2241; 2848; 3297; 3111; 2533; 3104; 3238; 3115; 3268; 3230; 2825; 2874; 2839; 2887; 2987; 2935; 3155; 2969; 2994; 3039; 2809; 2807; 2824; 2847; 2779; 3316; 3245; 3220; 3419; 3438;
Mittelwert [MPa]	$f_{\rm Lm}$	3054
Charakteristischer Wert der Zugfestigkeit (5% Fraktilwert) [MPa]	$f_{ m Lk}$	2701
Bruchdehnung [%]	$arepsilon_{ m Lui}$	1,69; 1,80; 1,66; 1,76; 1,67; 1,76; 1,70; 1,86; 1,89; 1,84; 1,72; 1,77; 1,89; 1,68; 1,73; 1,82; 1,88; 1,69; 1,75; 1,73; 1,64; 1,77; 1,94; 1,67; 1,78; 1,63; 1,70; 1,73; 1,69; 1,70; 1,75; 1,96; 1,90; 1,78; 1,72; 1,76; 1,82; 1,81; 1,69; 1,86; 1,52; 1,53; 1,81; 1,68; 1,69; 1,67; 1,75; 1,76; 1,79; 1,77; 1,65; 1,57; 1,61; 1,63; 1,85; 1,67; 1,78; 1,69; 1,68; 1,78; 1,77; 1,65; 1,68; 1,55; 1,68; 1,82; 1,88; 1,69; 1,75; 1,73; 1,77; 1,65; 1,68; 1,55; 1,68; 1,87; 1,79; 1,84; 1,92; 1,99;
	ı l	1,74

Die Zugeigenschaften im **Anhang C11** wurden aus mindestens fünf separaten Zugmessungen an allen charakteristischen Querschnitten des Lamellentyps "FRS-L-S" und "FRS-L-S NSM" ermittelt.

	T
fischer C-Fiber Force Strengthening System	
Leistung Elastizitätsmodul, Zugfestigkeit und Bruchdehnung der "FRS-L-S" & "FRS-L-S NSM" CFK-Lamellen	Anhang C11



Beständigkeit der "FRS-L-H" CFK-Lamelle in alkalischer Umgebung (pH > 11,0) bei maximaler Anwendungstemperatur für den vorgesehenen Verwendungszweck				
Technisches Merkmal	Leistung			
Elastizitätsmodul [kN/mm²]	E_{Lai}	192; 196; 198; 196; 200		
Mittelwert des Elastizitätsmoduls [kN/mm²]	E _{Lam}	196		
Verhältnis Elastizitätsmodul nach / vor der Auslagerung	R _{LEa}	0,98		
(R _{LEa} =E _{Lam} / E _{Lm})				
Zugfestigkeit [N/mm²]	$f_{ m Lai}$	3135; 3016; 3021; 3243; 3200		
Mittelwert der Zugfestigkeit [N/mm²]	f _{Lam}	3123		
Verhältnis Zugfestigkeit nach / vor der Auslagerung	R_{Lfa}	0,92		
$(R_{\rm Lfa} = f_{\rm Lam} / f_{\rm Lm})$				
Bruchdehnung [%]	$arepsilon_{ ext{Luai}}$	1,90; 1,48; 1,69; 1,72; 1,72		
Mittelwert der Bruchdehnung [%]	$\varepsilon_{ ext{Luam}}$	1,70		
Verhältnis Bruchdehnung nach / vor der Auslagerung ($R_{ m L\epsilon ua}=arepsilon_{ m Luam}/arepsilon_{ m Lum}$)	R _{Leua}	1,01		

Die Zugeigenschaften im **Anhang C12** wurden aus fünf Messungen an 1,2 mm dicken "FRS-L-H" CFK-Lamellen nach 1800 Stunden Einwirkung in einer alkalischen Lösung (pH > 11,0) bei maximaler Anwendungstemperatur (40 °C) ermittelt.

fischer C-Fiber Force Strengthening System	
Leistung Beständigkeit der "FRS-L-H" CFK-Lamellen in alkalischer Umgebung (pH > 11,0) bei maximaler Anwendungstemperatur für den vorgesehenen Verwendungszweck (40 °C)	Anhang C12



Beständigkeit der "FRS-L-H" CFK-Lamelle in alka Anwendungstemperatur für den vorgesehenen Ver		· · · · · ·
Technisches Merkmal		Leistung
Elastizitätsmodul [kN/mm²]	$E_{ m Lai}$	194; 196; 184; 192; 194;
Mittelwert des Elastizitätsmoduls [kN/mm²]	E _{Lam}	192
Verhältnis Elastizitätsmodul nach / vor der Auslagerung	R _{LEa}	0,96
$(R_{LEa} = E_{Lam} / E_{Lm})$		
Zugfestigkeit [N/mm²]	$f_{ m Lai}$	3054; 3407; 3153; 2932; 3356;
Mittelwert der Zugfestigkeit [N/mm²]	f _{Lam}	3180
Verhältnis Zugfestigkeit nach / vor der Auslagerung $(R_{\rm Lfa} = f_{\rm Lam} / f_{\rm Lm})$	R_{Lfa}	0,93
Bruchdehnung [%]	$arepsilon_{ ext{Luai}}$	1,66; 1,68; 1,65; 1,53; 1,68;
Mittelwert der Bruchdehnung [%]	$\varepsilon_{ ext{Luam}}$	1,64
Verhältnis Bruchdehnung nach / vor der Auslagerung $(R_{ ext{Leua}} = arepsilon_{ ext{Luam}}/arepsilon_{ ext{Lum}})$	R _{Lɛua}	0,98

Die Zugeigenschaften im **Anhang C13** wurden aus fünf Messungen an 1,2 mm dicken "FRS-L-H" CFK-Lamellen nach 1800 Stunden Einwirkung in einer alkalischen Lösung (pH > 13,7) bei maximaler Anwendungstemperatur (40 °C) ermittelt.

fischer C-Fiber Force Strengthening System	
Leistung Beständigkeit der "FRS-L-H" CFK-Lamellen in alkalischer Umgebung (pH > 13,7) bei maximaler Anwendungstemperatur für den vorgesehenen Verwendungszweck (40 °C)	Anhang C13



Technisches Merkmal		Leistung
Elastizitätsmodul [kN/mm²]	E_{Lai}	171; 168; 173; 172; 170;
Mittelwert des Elastizitätsmoduls [kN/mm²]	E _{Lam}	171
Verhältnis Elastizitätsmodul nach / vor der Auslagerung	R _{LEa}	0,99
$(R_{LEa} = E_{Lam} / E_{Lm})$		
Zugfestigkeit [N/mm²]	$f_{ m Lai}$,	3167; 3175; 3122; 3086; 3039;
Mittelwert der Zugfestigkeit [N/mm²]	f _{Lam}	3118
Verhältnis Zugfestigkeit nach / vor der Auslagerung	$R_{\mathrm{L}fa}$	1,02
$(R_{Lfa} = f_{Lam} / f_{Lm})$		
Bruchdehnung [%]	$arepsilon_{ ext{Luai}},$	1,81; 1,83; 1,79; 1,73; 1,77;
Mittelwert der Bruchdehnung [%]	$\varepsilon_{ m Luam}$	1,79
Verhältnis Bruchdehnung nach / vor der Auslagerung ($R_{ m Leua}=arepsilon_{ m Lum}/arepsilon_{ m Lum}$)	R _{Lɛua}	1,02

Die Zugeigenschaften im **Anhang C14** wurden aus fünf Messungen an 1,2 mm dicken "FRS-L-S" CFK-Lamellen nach 1800 Stunden Einwirkung in einer alkalischen Lösung (pH > 11,0) bei maximaler Anwendungstemperatur (40 °C) ermittelt.

fischer C-Fiber Force Strengthening System	
Leistung Beständigkeit der "FRS-L-S" und "FRS-L-S NSM" CFK-Lamellen in alkalischer Umgebung (pH > 11,0) bei max. Anwendungstemperatur für den vorgesehenen Verwendungszweck	Anhang C14



Technisches Merkmal		Leistung	
Elastizitätsmodul [kN/mm²]	E_{Lai}	170; 171; 166; 169; 172;	
Mittelwert des Elastizitätsmoduls [kN/mm²]	E _{Lam}	170	
Verhältnis Elastizitätsmodul nach / vor der Auslagerung	R _{LEa}	0,98	
$(R_{LEa} = E_{Lam} / E_{Lm})$			
Zugfestigkeit [N/mm²]	$f_{ m Lai}$	2632; 2868; 2647; 2819; 2835;	
Mittelwert der Zugfestigkeit [N/mm²]	f _{Lam}	2760	
Verhältnis Zugfestigkeit nach / vor der Auslagerung $(R_{\rm Lfa}=f_{\rm Lam}/f_{\rm Lm})$	R _{Lfa}	0,90	
Bruchdehnung [%]	$arepsilon_{ ext{Luai}}$	1,64; 1,76; 1,67; 1,73; 1,64;	
Mittelwert der Bruchdehnung [%]	$\varepsilon_{ m Luam}$	1,69	
Verhältnis Bruchdehnung nach / vor der Auslagerung $(R_{ ext{Leua}} = arepsilon_{ ext{Luam}}/arepsilon_{ ext{Lum}})$	R _{Leua}	0,97	

Die Zugeigenschaften im **Anhang C15** wurden aus fünf Messungen an 1,2 mm dicken "FRS-L-S" CFK-Lamellen nach 1800 Stunden Einwirkung in einer alkalischen Lösung (pH > 13,7) bei maximaler Anwendungstemperatur (40 °C) ermittelt.

fischer C-Fiber Force Strengthening System	
Leistung Beständigkeit der "FRS-L-S" und "FRS-L-S NSM" CFK-Lamellen in alkalischer Umgebung (pH > 13,7) bei max. Anwendungstemperatur für den vorgesehenen Verwendungszweck	Anhang C15



Produktmerkmale der FRS-BA Haftbrücke	
Erscheinungsbild - Komponente A - Komponente B - Mischung von A und B (9 : 1)	Hochviskose, weiße Paste Niederviskose, schwarze Flüssigkeit Mittelviskose, hellgraue Paste
Dichte - Komponente A - Komponente B - Mischung von A und B (9 : 1)	2,12 g/cm ³ ± 0,05 g/cm ³ 0,99 g/cm ³ ± 0,05 g/cm ³ 2,01 g/cm ³ ± 0,05 g/cm ³
Mischungsverhältnis nach Gewicht	9:1
Elastizitätsmodul unter Zugbeanspruchung**	≥ 7000 MPa
Mittelwert der Zugfestigkeit**	≥ 35 MPa
Glasübergangstemperatur***	≥ 50 °C
 Minimale Verarbeitbarkeitszeit bei minimaler Installationstemperatur (10°C) und maximaler Verarbeitungsmenge (5 kg)* bei normaler Umgebungstemperatur (21 °C) und maximaler Verarbeitungsmenge (5 kg)* bei maximaler Installationstemperatur (40 °C) und maximaler Verarbeitungsmenge (5 kg)* 	180 Min. 50 Min. 20 Min.
Mindestaushärtezeit	
 bei minimaler Verarbeitungstemperatur (10 °C) bei standard Verarbeitungstemperatur (21 °C) bei maximaler Verarbeitungstemperatur (40 °C) 	4 Tage 2 Tage 1 Tag

^{*}Nach EN ISO 9514.

fischer C-Fiber Force Strengthening System	
Produktbeschreibung Technische Parameter and Details der FRS-BA Haftbrücke	Anhang C16

^{**}Nach EN ISO 527, nach 7 Tage Aushärtezeit bei Standardklima (21 °C, 50 % r.F.).

^{***}Nach EN 12614, nach 7 Tage Aushärtezeit bei Standardklima (21 °C, 50 % r.F.).



Verstärkungsbausatz und Schichtaufbau			Abreißfestigkeit [N/mm²]	Versagensart
Haftbrücke FRS-BA,	Einzelwerte	$f_{\rm cti,surf}$	2,59	100% Kohäsion*
Reparaturmörtel FRS-PC 11,			3,00	100% Kohäsion*
Epoxymörtel FRS-CS,			2,39	100% Kohäsion*
CFK-Lamelle FRS-L-H			2,79	100% Kohäsion*
			3,10	100% Kohäsion*
	Mittelwert	$f_{\rm ctm, surf}$	2,77	-
	Charakteristischer Wert	$f_{\rm ctk, surf}$	2,09	-
Epoxymörtel FRS-CS,	Einzelwerte	$f_{\rm cti,surf}$	2,00	100% Kohäsion*
CFK-Lamelle FRS-L-H		, , , , , , , , , , , , , , , , , , , ,	2,97	100% Kohäsion*
			3,30	100% Kohäsion*
			3,66	100% Kohäsion*
			3,29	100% Kohäsion*
	Mittelwert	$f_{\rm ctm, surf}$	3,04	-
	Charakteristischer Wert	f _{ctk,surf}	1,56	-
Haftbrücke FRS-BA,	Einzelwerte	$f_{ m cti,surf}$	3,07	100% Kohäsion*
Reparaturmörtel FRS-PC 11,			3,37	100% Kohäsion*
Epoxymörtel FRS-CS,			2,51	100% Kohäsion*
CFK-Lamelle FRS-L-S			3,48	100% Kohäsion*
			3,15	100% Kohäsion*
	Mittelwert	$f_{\rm ctm, surf}$	3,12	-
	Charakteristischer Wert	$f_{\rm ctk, surf}$	2,24	-
Epoxymörtel FRS-CS,	Einzelwerte	$f_{\rm cti,surf}$	3,24	100% Kohäsion*
CFK-Lamelle FRS-L-S			3,54	100% Kohäsion*
			3,19	100% Kohäsion*
			3,50	100% Kohäsion*
			3,20	100% Kohäsion*
	Mittelwert	$f_{\rm ctm, surf}$	3,33	-
	Charakteristischer Wert	$f_{\rm ctk,surf}$	2,92	-

Schichtdicken:

Haftbrücke FRS-BA: 500-800 g/m²

Reparaturmörtel FRS-PC 11 $d_{M,max}$: 30 mm

Epoxymörtel "Hauptklebstoff" FRS-CS $d_{G,\min}$: 1 mm CFK-Lamelle FRS-L-S oder FRS-L-H $t_{\rm L}$: 1,4 mm

Aushärtezeit: 7 days f_{cm} : 50,5 MPa ; f_{ck} : 49,0 MPa

Aushärtetemperatur: 21 °C ± 2 °C

*100 % Kohäsionsbruch im Betonuntergrund. Referenz-Betonfestigkeitsklasse C50/60

fischer C-Fiber Force Strengthening System	
Leistung des Verstärkungsbausatzes Abreißfestigkeit des C-Fiber Force Strengthening Verstärkungssystems im Beton, Aushärtung bei Standardklima	Anhang C17



Abreißfestigkeit des Verstärkungsbausatzes nach niederzyklischer Ermüdungsbeanspruchung				
			Abreißfestigkeit	Versagensart
Verstärkungsbausatz und Schichtaufbau			[N/mm ²]	
Haftbrücke FRS-BA,	Einzelwerte	$f_{ m cti,surf,fat}$	4,73	100% Kohäsion*
Reparaturmörtel FRS-PC 11,			3,60	100% Kohäsion*
Epoxymörtel FRS-CS,			3,98	100% Kohäsion*
CFK-Lamelle FRS-L-H			4,39	100% Kohäsion*
			5,53	100% Kohäsion*
	Mittelwert	$f_{\text{ctm,surf,fat}}$	4,45**	-
	Charakteristischer Wert	f _{ctk,surf,fat}	2,72	-
$(R_{\text{fat,m}} = f_{\text{ctm,surf,fat}} / f_{\text{ctm,surf}})$	Verhältnis	$R_{\rm fat,m}$	1,45	-
Epoxymörtel FRS-CS,	Einzelwerte	$f_{\rm cti,surf,fat}$	5,14	100% Kohäsion*
CFK-Lamelle FRS-L-H			4,33	100% Kohäsion*
			5,31	100% Kohäsion*
			4,31	100% Kohäsion*
			4,10	100% Kohäsion*
	Mittelwert	fctm,surf,fat	4,64**	-
	Charakteristischer Wert	f _{ctk,surf,fat}	3,37	-
$(R_{\text{fat,m}} = f_{\text{ctm,surf,fat}} / f_{\text{ctm,surf}})$	Verhältnis	R _{fat,m}	1,51	-

Schichtdicken:

Haftbrücke FRS-BA: 500-800 g/m²

Reparaturmörtel FRS-PC 11 $d_{M,max}$: 30 mm

Epoxymörtel "Hauptklebstoff" FRS-CS $d_{G, \min}$: 1 mm CFK-Lamelle FRS-L-H $t_{\rm L}$: 1,4 mm

Aushärtezeit: 7 days f_{cm} : 50,5 MPa ; f_{ck} : 49,0 MPa

Aushärtetemperatur: 21 °C ± 2 °C

Beanspruchung: 100.000 Lastwechsel mit einer oberen Last von 3,32 kN (entspricht 55 % der Referenzhaftzugfestigkeit 3,07 MPa) und einer unteren Last von 0,60 kN (entspricht 10 % der Referenzhaftzugfestigkeit 3,07 MPa)

*100 % Kohäsionsbruch im Betonuntergrund. Referenzbeton nach EN 1542, Betonfestigkeitsklasse C50/60.

fischer C-Fiber Force Strengthening System	
Leistung des Verstärkungsbausatzes Abreißfestigkeit des C-Fiber Force Strengthening Verstärkungssystems im Beton nach niederzyklischer Ermüdungsbeanspruchung	Anhang C18

^{**}Haftzugfestigkeit des nicht beanspruchten Referenzbauteils: fctm.surf = 3,07 MPa



Verstärkungsbausatz und Schic	Abreißfestic	keit [N/mm²]	Versagensart	
Haftbrücke FRS-BA,	Einzelwerte	$f_{ m cti,surf,T_{min}}$	3,12	100% Kohäsion*
Reparaturmörtel FRS-PC 11,		'	2,30	100% Kohäsion*
Epoxymörtel FRS-CS,		'	3,41	100% Kohäsion*
CFK-Lamelle FRS-L-H			2,75	100% Kohäsion*
<u> </u>		'	3,74	100% Kohäsion*
	Mittelwert	$f_{\text{ctm,surf,T}_{\min}}$	3,06	-
	Charakteristisch er Wert	f ctk,surf, T_{\min}	1,75	-
$(R_{T_{\min,m}} = f_{\text{ctm,surf},T_{\min}} / f_{\text{ctm,surf}})$	Verhältnis	$R_{\mathrm{T_{min,m}}}$	1,01	-
Epoxymörtel FRS-CS,	Einzelwerte	$f_{ m cti,surf,T_{min}}$	3,55	100% Kohäsion*
CFK-Lamelle FRS-L-H			3,04	100% Kohäsion*
		!	3,55	100% Kohäsion*
		'	3,95	100% Kohäsion*
			3,66	100% Kohäsion*
	Mittelwert	$f_{\mathrm{ctm,surf,,T_{min}}}$	3,55	-
	Charakt. Wert	$f_{ m ctk,surf,T_{min}}$	2,78	-
$(R_{T_{\min,m}} = f_{\text{ctm,surf,T}_{\min}} / f_{\text{ctm,surf}})$	Verhältnis	$R_{\mathrm{T_{min,m}}}$	1,07	-
Haftbrücke FRS-BA,	Einzelwerte	$f_{ m cti,surf,T_{min}}$	3,38	100% Kohäsion*
Reparaturmörtel FRS-PC 11,		!	3,67	100% Kohäsion*
Epoxymörtel FRS-CS,		!	3,17	100% Kohäsion*
CFK-Lamelle FRS-L-S			3,49	100% Kohäsion*
		<u> </u>	3,59	100% Kohäsion*
	Mittelwert	$f_{\mathrm{ctm,surf,T_{min}}}$	3,46	-
	Charakt. Wert	$f_{ m ctk,surf,T_{min}}$	3,0	-
$(R_{T_{\min,m}} = f_{\text{ctm,surf,T}_{\min}} / f_{\text{ctm,surf}})$	Verhältnis	$R_{\mathrm{T_{min,m}}}$	1,25	-
Epoxymörtel FRS-CS,	Einzelwerte	$f_{ m cti,surf,T_{min}}$	3,70	100% Kohäsion*
CFK-Lamelle FRS-L-S			3,58	100% Kohäsion*
		· i	3,78	100% Kohäsion*
			3,78	100% Kohäsion*
			3,68	100% Kohäsion*
	Mittelwert	$f_{\mathrm{ctm,surf,T_{min}}}$	3,71	-
	Charakt. Wert	$f_{ m ctk,surf,T_{min}}$	3,51	-
$(R_{T_{\text{min,m}}} = f_{\text{ctm,surf,T_{min}}} / f_{\text{ctm,surf}})$	Verhältnis	$R_{\mathrm{T_{min,m}}}$	1,19	-

Schichtdicken:

Haftbrücke FRS-BA: 500-800 g/m²

Reparaturmörtel FRS-PC 11 $d_{\rm M,max}$: 30 mm

Epoxymörtel "Hauptklebstoff" FRS-CS $d_{G, \min}$: 1 mm CFK-Lamelle FRS-L-S und FRS-L-H $t_{\rm L}$: 1,4 mm

Aushärtezeit: 7 days f_{cm} : 50,5 MPa ; f_{ck} : 49,0 MPa

Aushärtetemperatur: 10 °C ± 2 °C

*100 % Kohäsionsbruch im Betonuntergrund. Referenzbeton nach EN 1542, Betonfestigkeitsklasse C50/60.

fischer C-Fiber Force Strengthening System	
Leistung der Verstärkungsbausatzes Abreißfestigkeit des bei minimaler Installationstemperatur ausgehärteten Verstärkungsbausatzes	Anhang C19



Lamellen- typ	Betondruck- festigkeit [N/mm²]	Betonoberflächen- zugfestigkeit [N/mm²]	Tragfähigkeit der	ng [kN]	Versagensart	
FRS-L-H	C12/15	f _{ctim,surf} : 1,47	Einzelwerte	$F_{ m bLi}$	84,17	100% Kohäsion
	f _{cm} : 18,6	<i>f</i> ctik,surf: 0,64			87,82	100% Kohäsion
	f _{ck} : 14,1	f _{ctim,surf} : 1,59			80,23	100% Kohäsion
		<i>f</i> _{ctik,surf} : 1,30			104,62	100% Kohäsior
		-	Mittelwert	$F_{ m bLm}$	89,21	-
		-	Charakt. Wert	$F_{ m bLk}$	61,00	-
FRS-L-H	C30/37	f _{ctim,surf} : 2,25	Einzelwerte	$F_{ m bLi}$	116,75	100% Kohäsion
	f _{cm} : 33,2	$f_{\text{ctik,surf}}$: 0,85			127,06	100% Kohäsion
	f _{ck} : 29,7	f _{ctim,surf} : 1,81			93,95	100% Kohäsion
		$f_{\text{ctik,surf}}$: -**			104,57	100% Kohäsion
		-	Mittelwert	$F_{\rm bLm}$	110,58	-
		-	Charakt. Wert	$F_{ m bLk}$	72,71	-
FRS-L-H	C50/60	f _{ctim,surf} : 4,04	Einzelwerte	$F_{ m bLi}$	121,19	100% Kohäsior
	f _{cm} : 47.6	<i>f</i> _{ctik,surf} : 3,45			144,15	100% Kohäsior
	f _{ck} : 42,3	$f_{\text{ctim,surf}}$: 2,10			119,59	100% Kohäsior
		<i>f</i> ctik,surf: 1,47			118,37	100% Kohäsior
		-	Mittelwert	F _{bLm}	125,83	-
		-	Charakt. Wert	F _{bLk}	93,56	-
FRS-L-S	C12/15	$f_{\text{ctim,surf}}$: 2,26	Einzelwerte	$F_{ m bLi}$	83,11	100% Kohäsion
	f _{cm} : 18,6	$f_{\text{ctik,surf}}$: 1,12			92,37	100% Kohäsion
	f _{ck} : 14,1	$f_{\text{ctim,surf}}$: 1,10			85,95	100% Kohäsior
		$f_{\text{ctik,surf}}$: -**			92,35	100% Kohäsion
		-	Mittelwert	F _{bLm}	88,45	-
		-	Charakt. Wert	F _{bLk}	76,17	-
FRS-L-S	C30/37	$f_{\text{ctim,surf}}$: 2,45	Einzelwerte	$F_{ m bLi}$	109,49	100% Kohäsion
	f _{cm} : 33,2	$f_{\text{ctik,surf}}$: 0,85			134,98	100% Kohäsior
	f _{ck} : 29,7	$f_{\text{ctim,surf}}$: 2,10			102,60	100% Kohäsior
		<i>f</i> ctik,surf: 1,10			111,04	100% Kohäsion
		-	Mittelwert	F _{bLm}	114,53	-
		-	Charakt. Wert	F _{bLk}	77,39	-
FRS-L-S	C50/60	$f_{\text{ctim,surf}}$: 3,80	Einzelwerte	$F_{ m bLi}$	112,53	100% Kohäsion
	f _{cm} : 47.6	<i>f</i> _{ctik,surf} : 2,69			119,29	100% Kohäsion
	f _{ck} : 42,3	$f_{\text{ctim.surf}}$: 2,57			105,01	100% Kohäsion
		<i>f</i> _{ctik,surf} : 1,31			106,34	100% Kohäsion
		-	Mittelwert	F _{bLm}	110,79	-
		-	Charakt. Wert	$F_{ m bLk}$	93,58	-

Verbundlänge $l_{\rm v}$ der CFK Lamelle:1000 mmSchichtdicke des Epoxymörtels FRS-CS $d_{G,\rm min.}$:1 mmDicke der CFK-Lamelle FRS-L-S oder FRS-L-H $t_{\rm L}$:1,4 mmBreite der CFK-Lamelle $b_{\rm L}$:100 mm*100 % Kohäsionsbruch im Betonuntergrund.

fischer C-Fiber Force Strengthening System	
Leistung des Verstärkungsbausatzes Scherfestigkeit von auf Beton aufgeklebten "FRS-L-S" und "FRS-L-H" CFK-Klebelamellen (ohne Reparaturmörtel)	Anhang C20



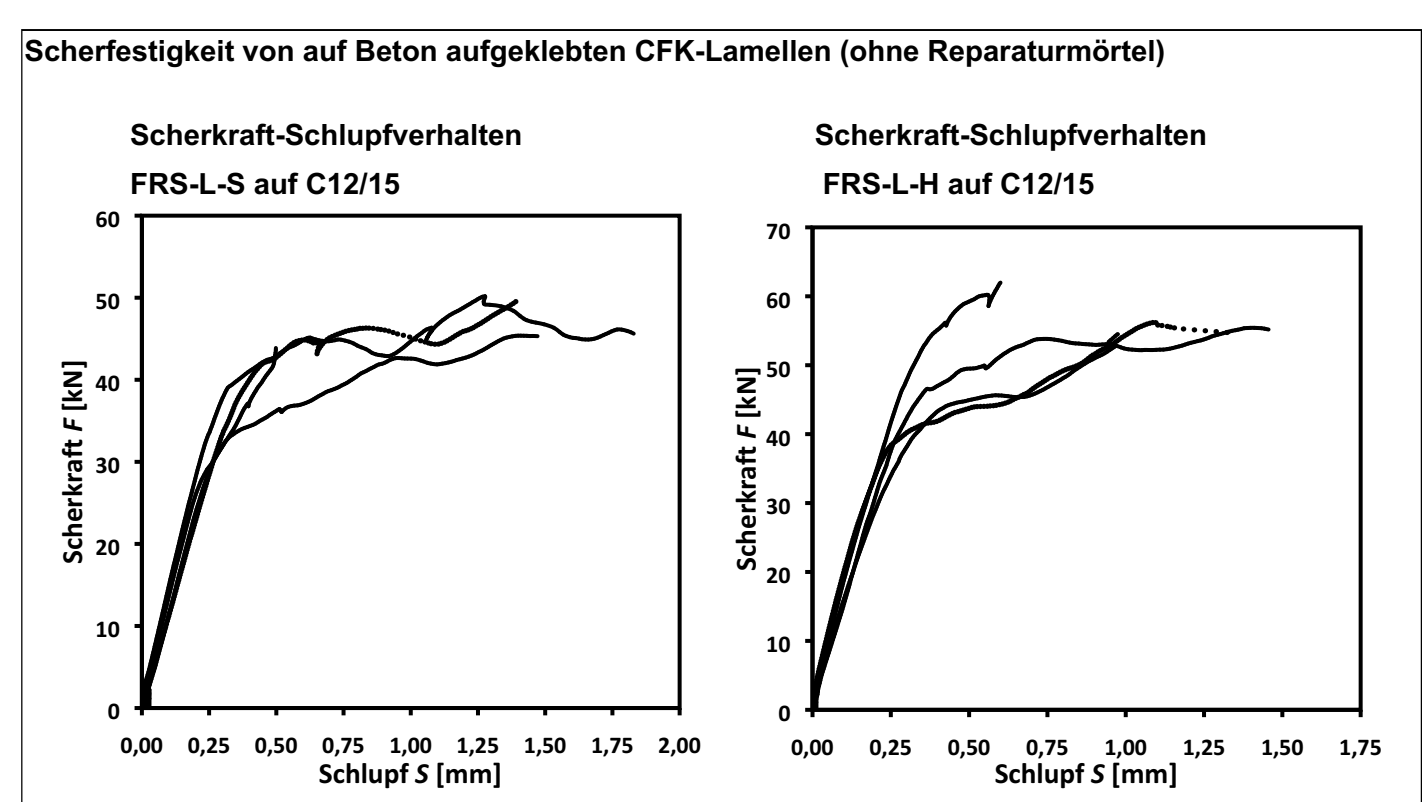


Bild C21.1: Scherkraft-Schlupfdiagramme von schubfest auf C12/15 Beton aufgeklebten "FRS-L-S" und "FRS-L-H" CFK-Klebelamellen

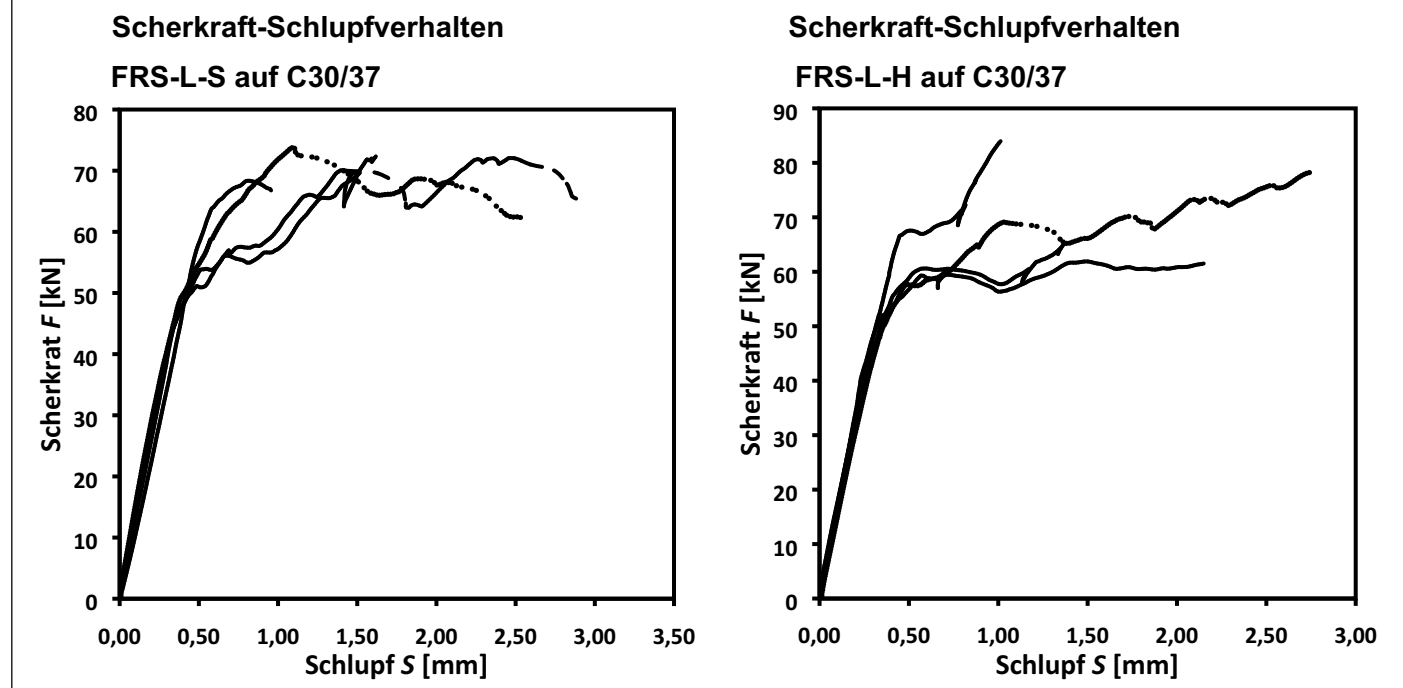


Bild C21.2: Scherkraft-Schlupfdiagramme von schubfest auf C30/37 Beton aufgeklebten "FRS-L-S" und "FRS-L-H" CFK-Klebelamellen

fischer C-Fiber Force Strengthening System	
Leistung des Verstärkungsbausatzes Scherfestigkeit von auf Beton aufgeklebten "FRS-L-S" und "FRS-L-H" CFK-Klebelamellen (ohne Reparaturmörtel)	Anhang C21



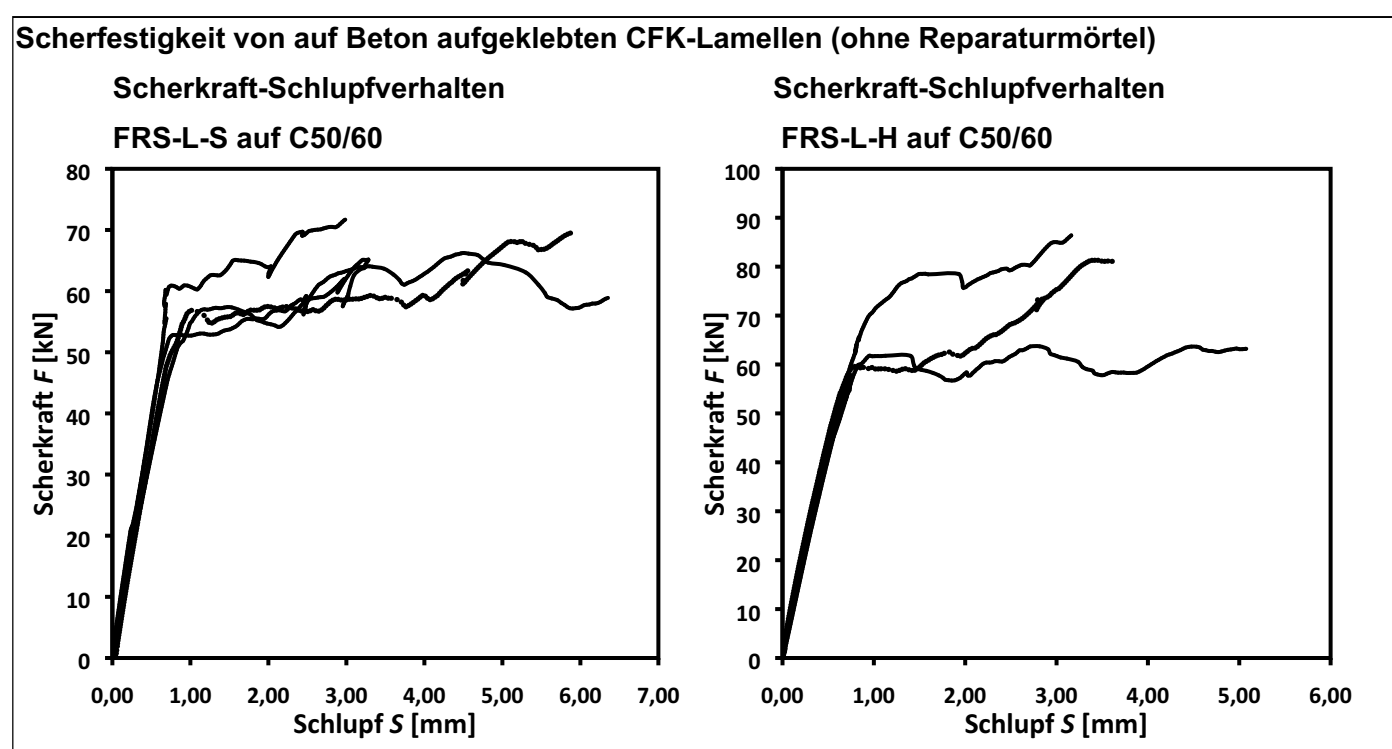


Bild C22: Scherkraft-Schlupfdiagramme von schubfest auf C50/60 Beton aufgeklebten "FRS-L-S" und "FRS-L-H" CFK-Klebelamellen

fischer C-Fiber Force Strengthening System	
Leistung des Verstärkungsbausatzes Scherfestigkeit von auf Beton aufgeklebten "FRS-L-S" und "FRS-L-H" CFK-Klebelamellen (ohne Reparaturmörtel)	Anhang C22



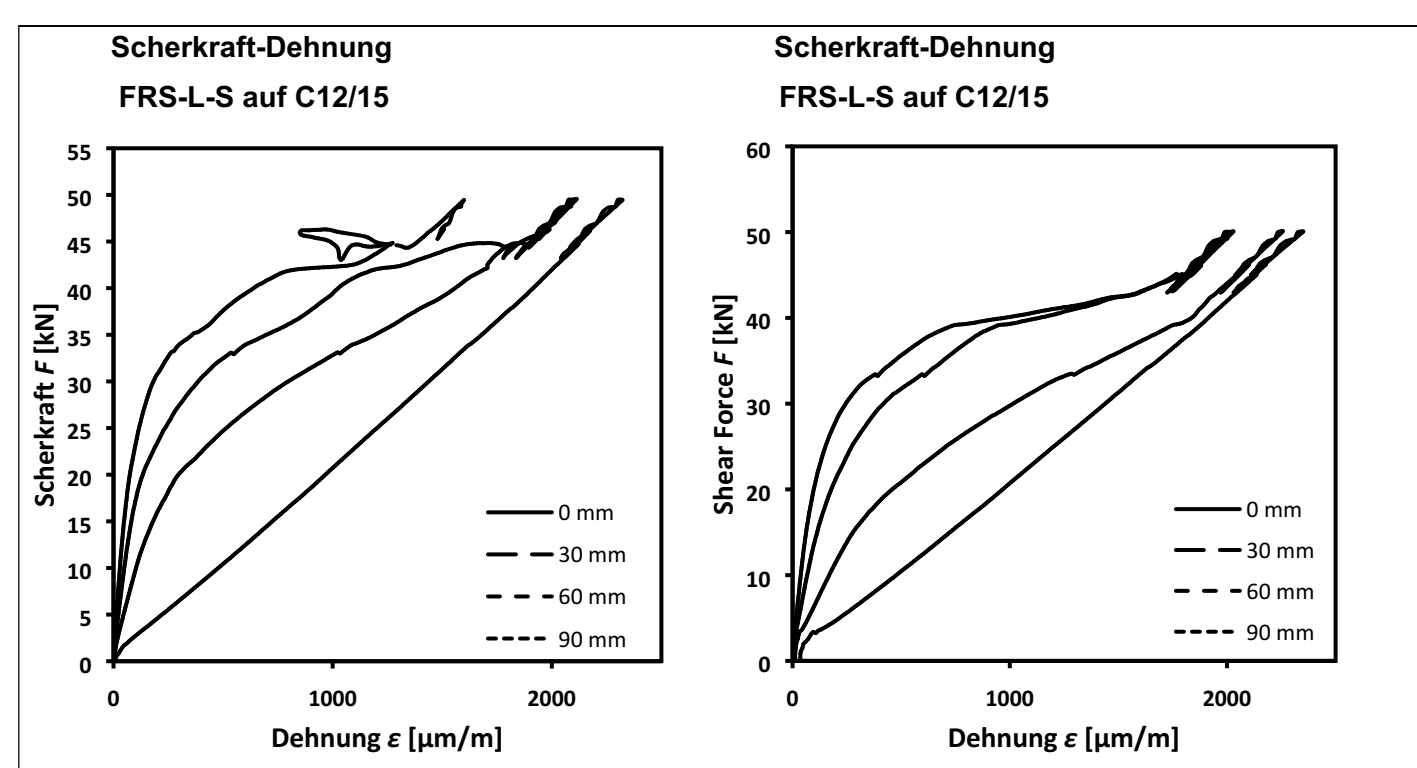


Bild C23.1: Scherkraft-Dehnungsdiagramme von schubfest auf C12/15 Beton aufgeklebten "FRS-L-S" CFK-Klebelamellen, Dehnungsmessung in 0, 30, 60, 90 mm Abständen vom Beginn des Verbundbereiches

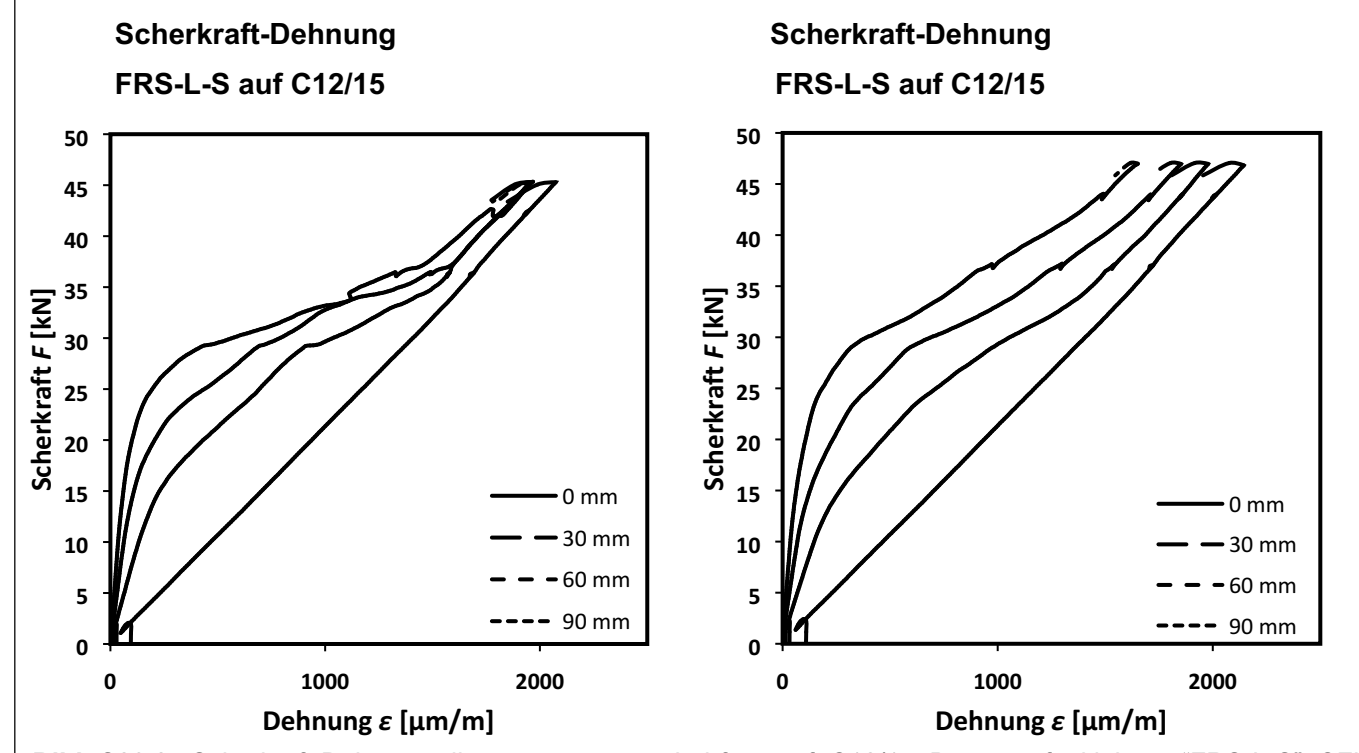


Bild C23.2: Scherkraft-Dehnungsdiagramme von schubfest auf C12/15 Beton aufgeklebten "FRS-L-S" CFK-Klebelamellen, Dehnungsmessung in 0, 30, 60, 90 mm Abständen vom Beginn des Verbundbereiches

fischer C-Fiber Force Strengthening System	
Leistung des Verstärkungsbausatzes	Anhang C23
Scherfestigkeit von auf Beton aufgeklebten "FRS-L-S" CFK-Klebelamellen	
(ohne Reparaturmörtel), Auswertung der Dehnungen entlang der Lasteinleitungszone	



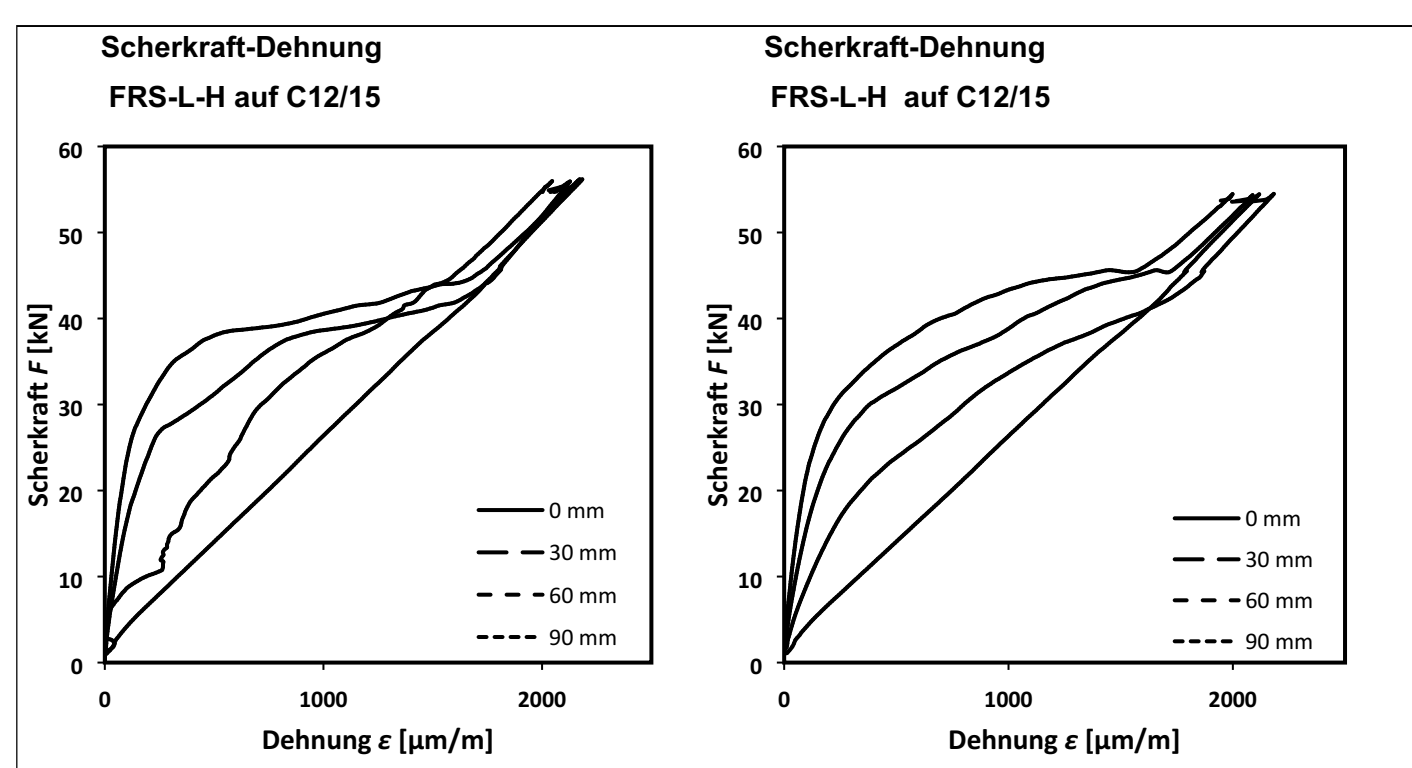


Bild C24.1: Scherkraft-Dehnungsdiagramme von schubfest auf C12/15 Beton aufgeklebten "FRS-L-H" CFK-Klebelamellen, Dehnungsmessung in 0, 30, 60, 90 mm Abständen vom Beginn des Verbundbereiches

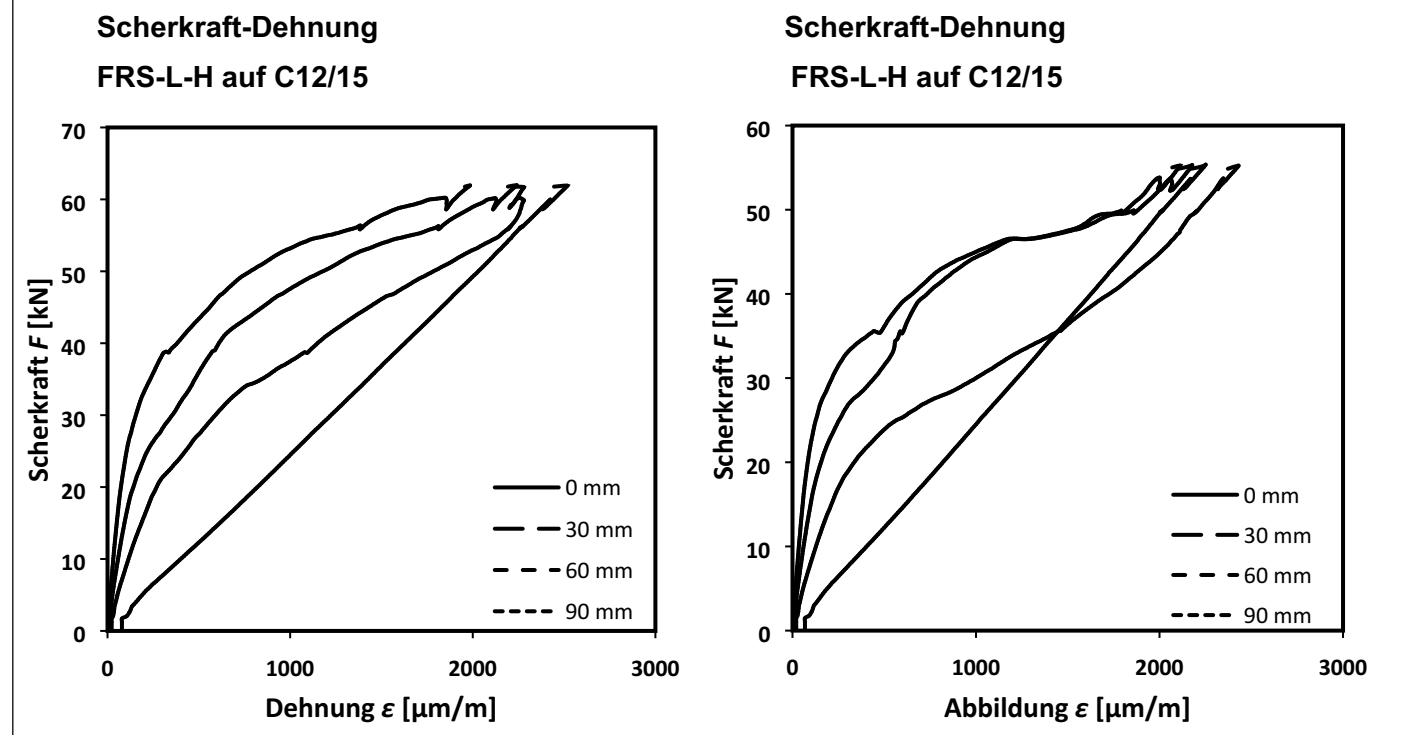


Bild C24.2: Scherkraft-Dehnungsdiagramme von schubfest auf C12/15 Beton aufgeklebten "FRS-L-H" CFK-Klebelamellen, Dehnungsmessung in 0, 30, 60, 90 mm Abständen vom Beginn des Verbundbereiches

fischer C-Fiber Force Strengthening System	
Leistung des Verstärkungsbausatzes	Anhang C24
Scherfestigkeit von auf Beton aufgeklebten "FRS-L-H" CFK-Klebelamellen	
(ohne Reparaturmörtel), Auswertung der Dehnungen entlang der Lasteinleitungszone	



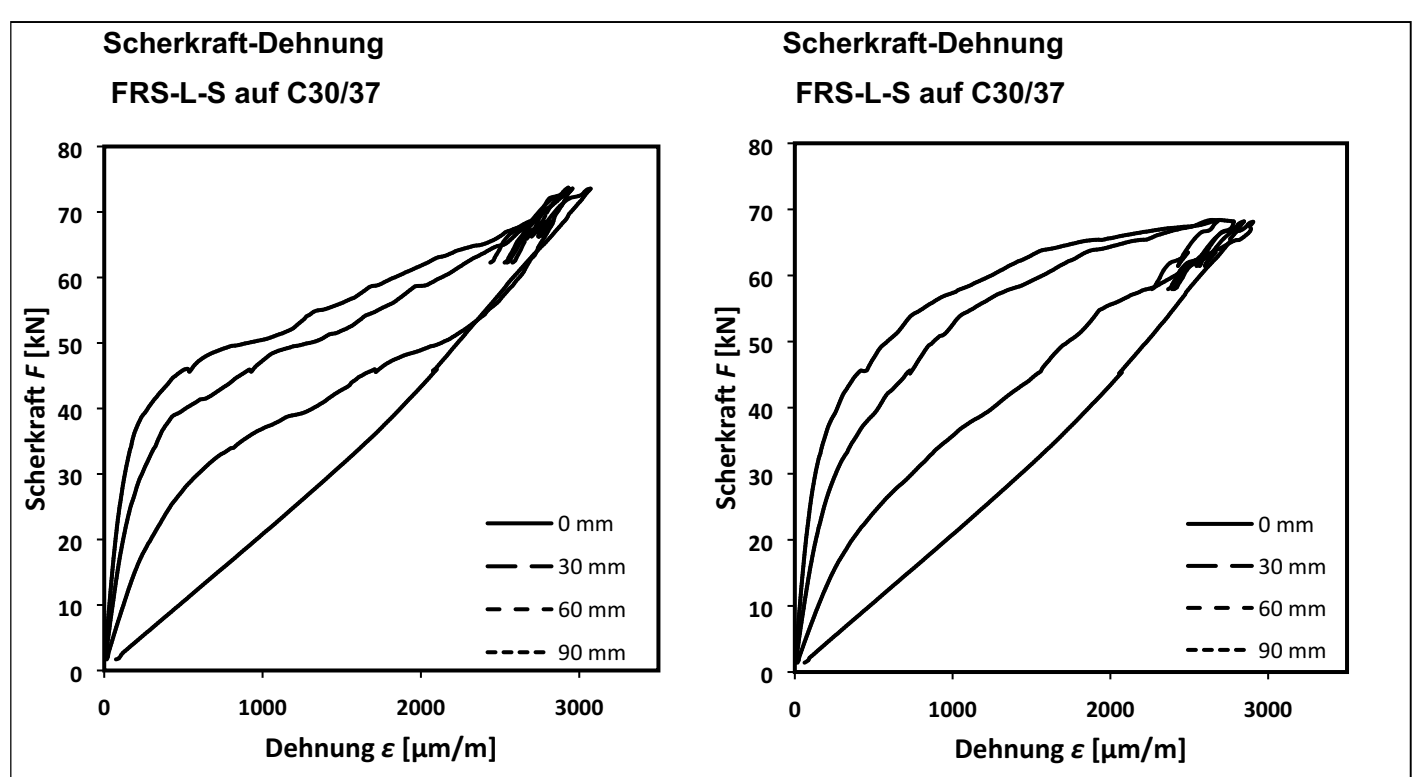


Bild C25.1: Scherkraft-Dehnungsdiagramme von schubfest auf C30/37 Beton aufgeklebten "FRS-L-S" CFK-Klebelamellen, Dehnungsmessung in 0, 30, 60, 90 mm Abständen vom Beginn des Verbundbereiches

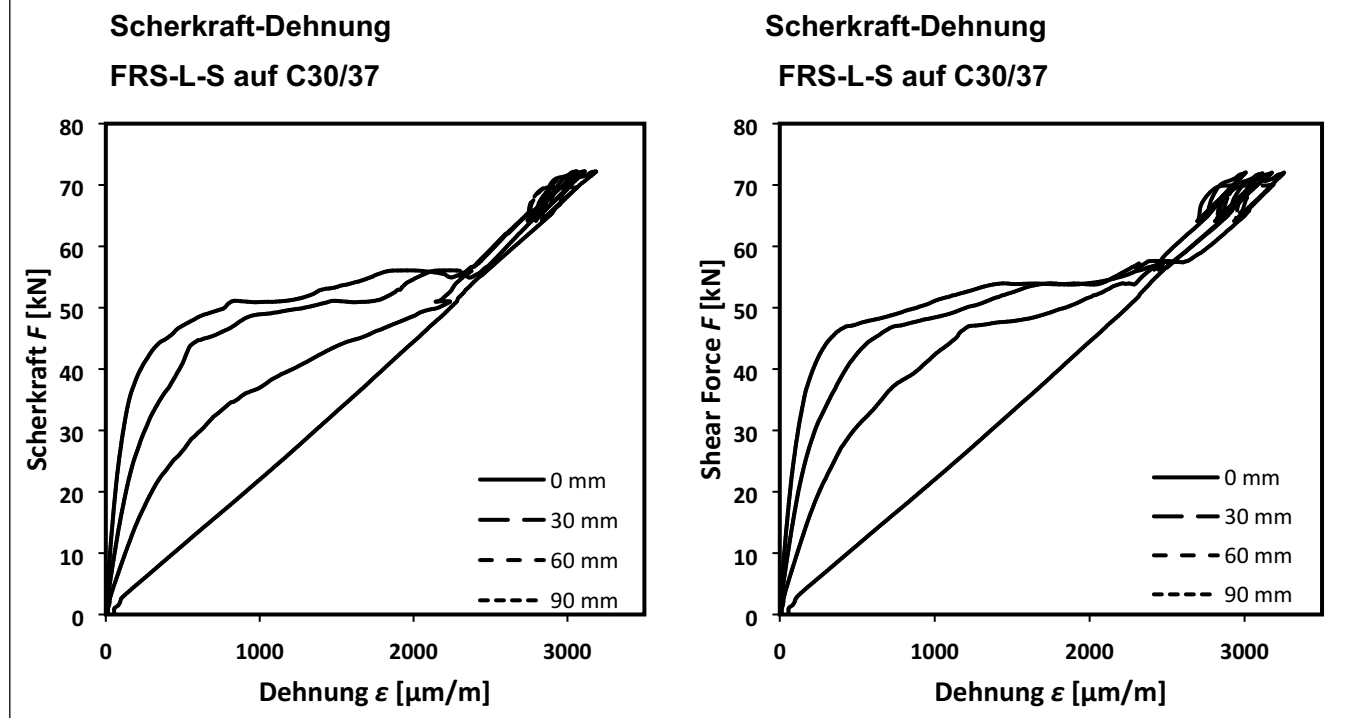


Bild C25.2: Scherkraft-Dehnungsdiagramme von schubfest auf C30/37 Beton aufgeklebten "FRS-L-S" CFK-Klebelamellen, Dehnungsmessung in 0, 30, 60, 90 mm Abständen vom Beginn des Verbundbereiches

fischer C-Fiber Force Strengthening System

Leistung des Verstärkungsbausatzes
Scherfestigkeit von auf Beton aufgeklebten "FRS-L-S" CFK-Klebelamellen
(ohne Reparaturmörtel), Auswertung der Dehnungen entlang der Lasteinleitungszone



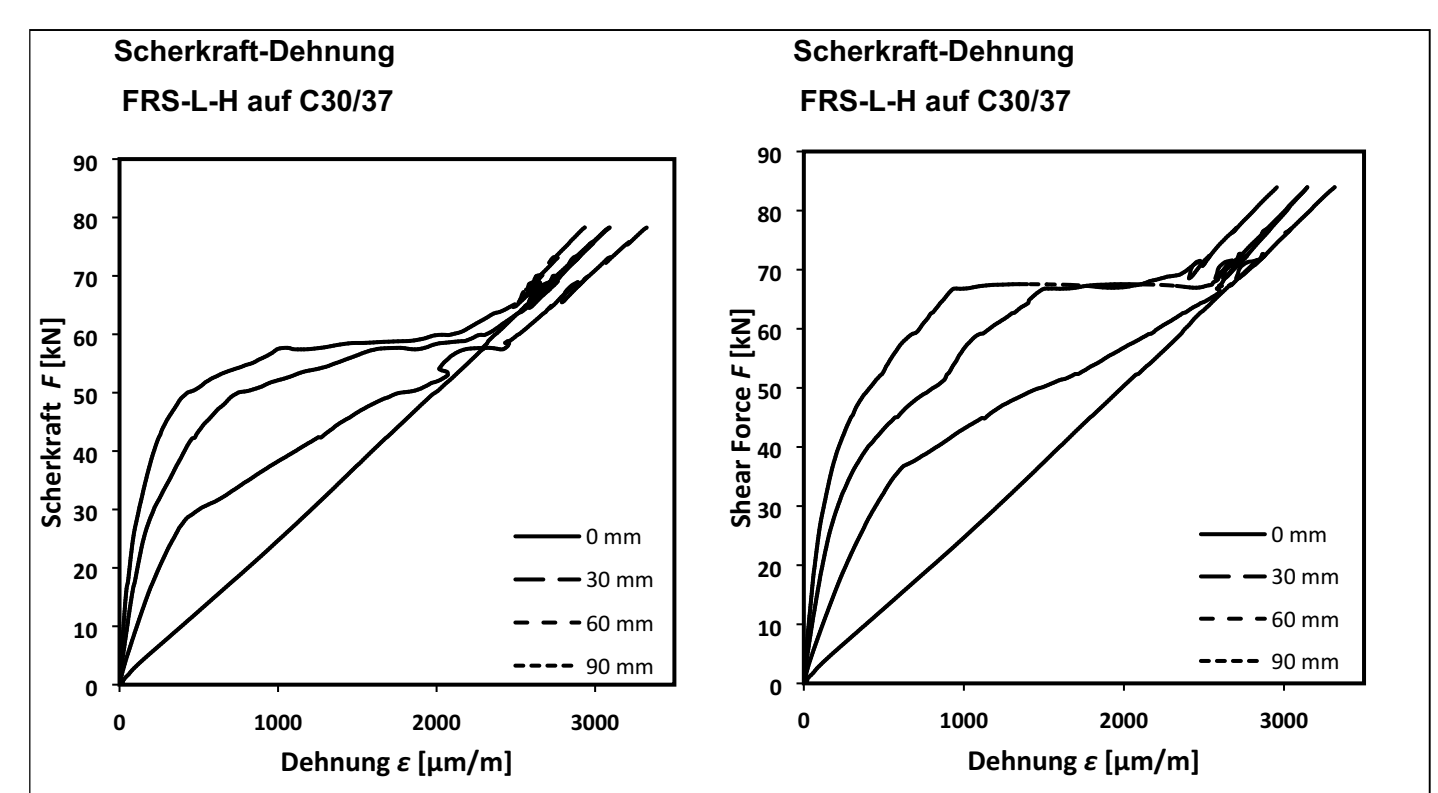


Bild C26.1: Scherkraft-Dehnungsdiagramme von schubfest auf C30/37 Beton aufgeklebten "FRS-L-H" CFK-Klebelamellen, Dehnungsmessung in 0, 30, 60, 90 mm Abständen vom Beginn des Verbundbereiches

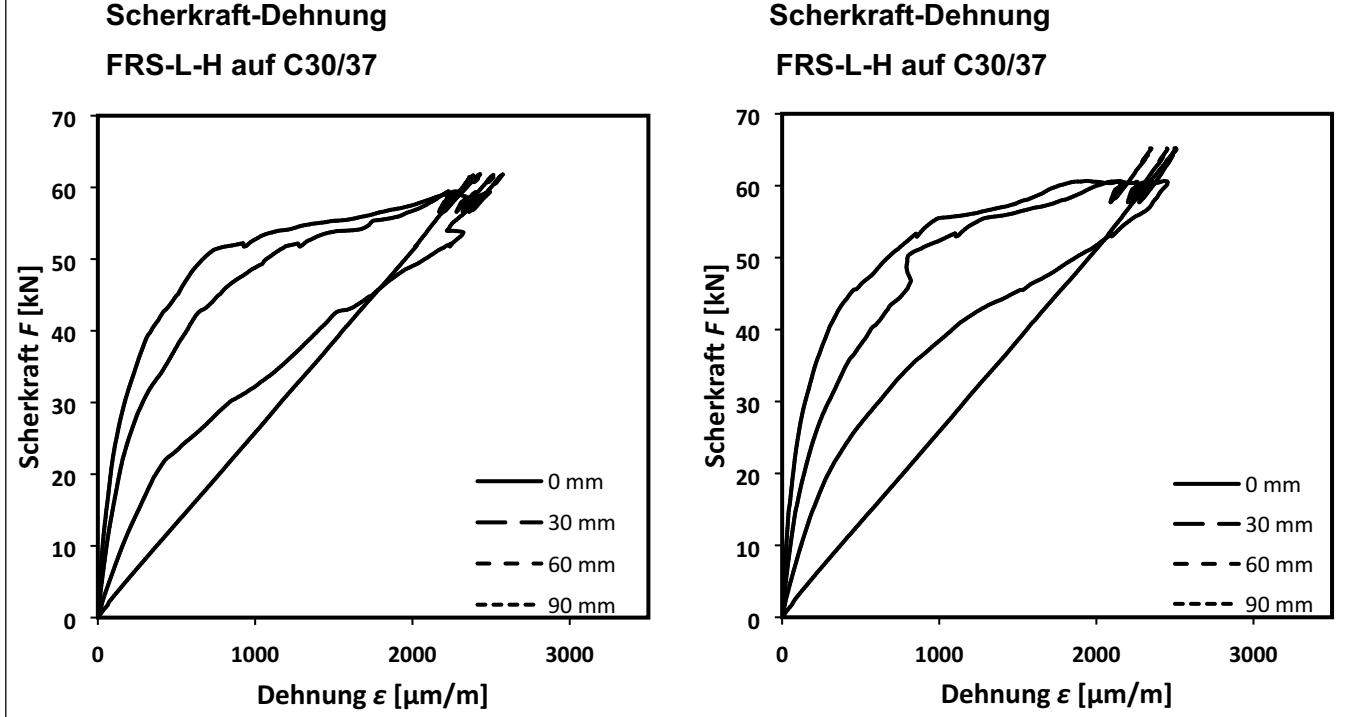


Bild C26.2: Scherkraft-Dehnungsdiagramme von schubfest auf C30/37 Beton aufgeklebten "FRS-L-H" CFK-Klebelamellen, Dehnungsmessung in 0, 30, 60, 90 mm Abständen vom Beginn des Verbundbereiches

fischer C-Fiber Force Strengthening System

Leistung des Verstärkungsbausatzes
Scherfestigkeit von auf Beton aufgeklebten "FRS-L-H" CFK-Klebelamellen
(ohne Reparaturmörtel), Auswertung der Dehnungen entlang der Lasteinleitungszone



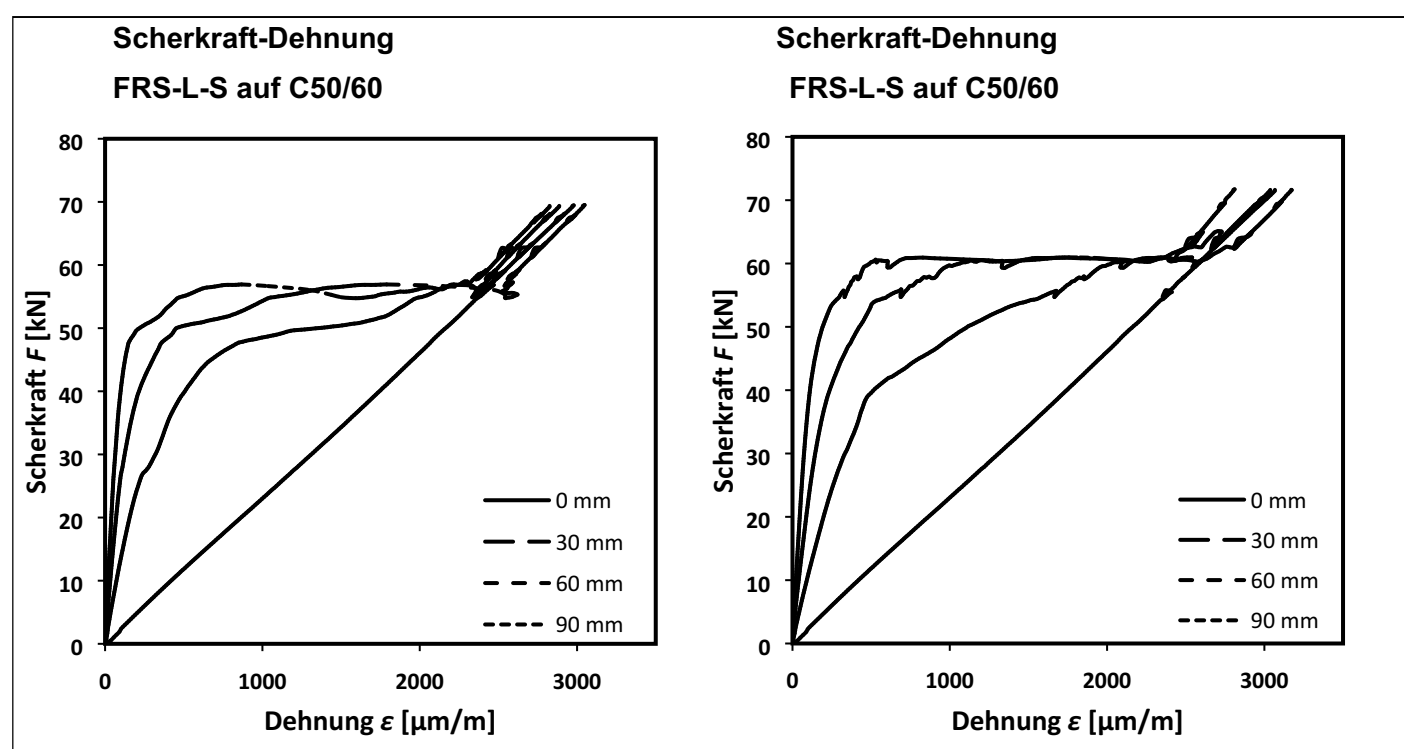


Bild C27.1: Scherkraft-Dehnungsdiagramme von schubfest auf C50/60 Beton aufgeklebten "FRS-L-S" CFK-Klebelamellen, Dehnungsmessung in 0, 30, 60, 90 mm Abständen vom Beginn des Verbundbereiches

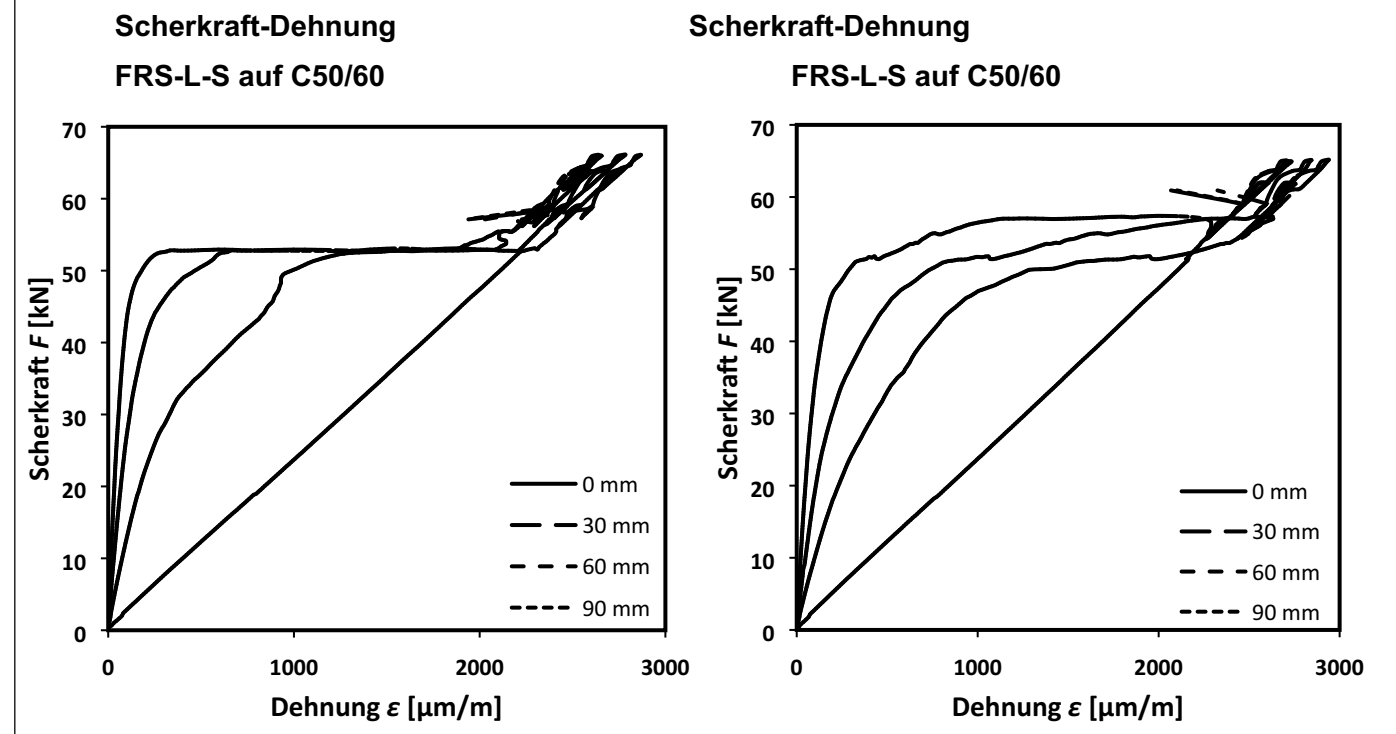


Bild C27.2: Scherkraft-Dehnungsdiagramme von schubfest auf C50/60 Beton aufgeklebten "FRS-L-S" CFK-Klebelamellen, Dehnungsmessung in 0, 30, 60, 90 mm Abständen vom Beginn des Verbundbereiches

fischer C-Fiber Force Strengthening System

Leistung des Verstärkungsbausatzes
Scherfestigkeit von auf Beton aufgeklebten "FRS-L-S" CFK-Klebelamellen
(ohne Reparaturmörtel), Auswertung der Dehnungen entlang der Lasteinleitungszone



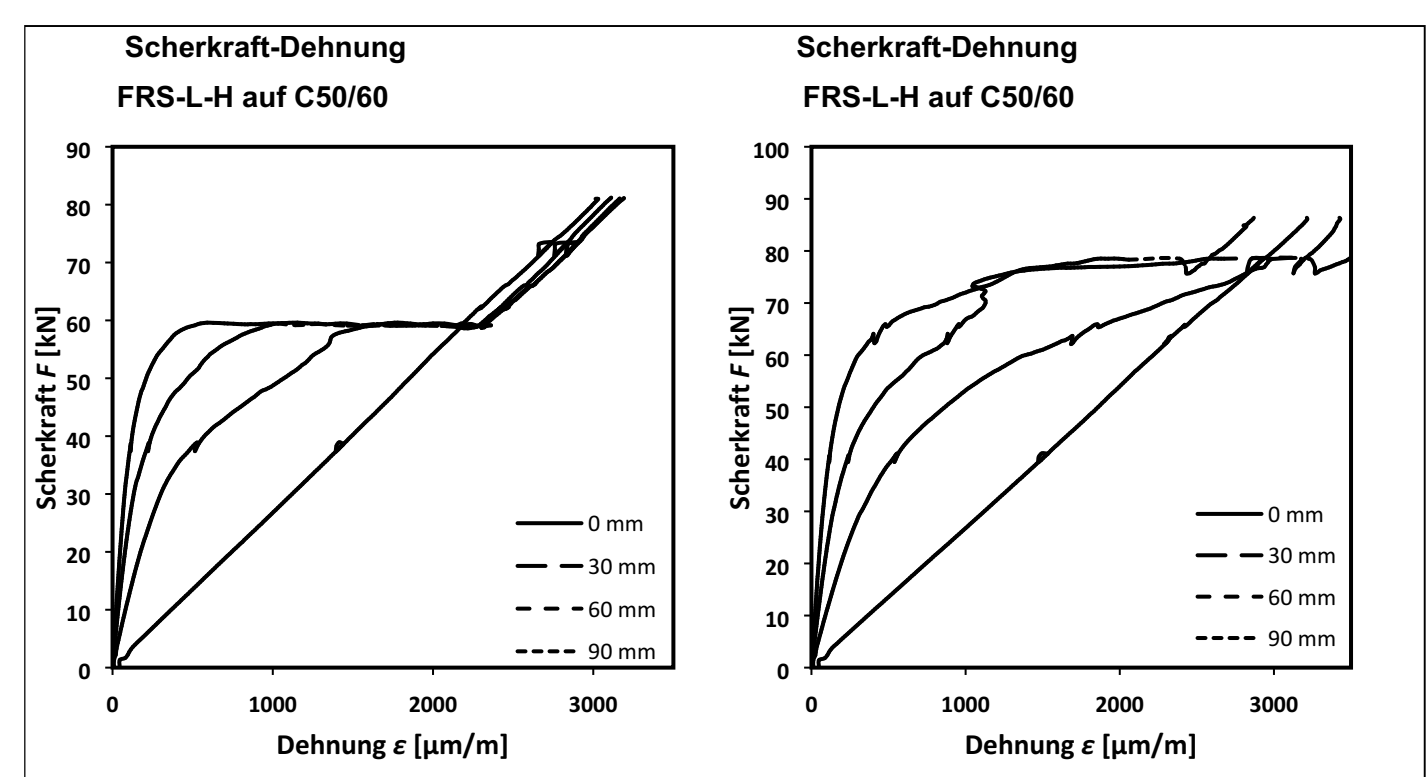


Bild C28.1: Scherkraft-Dehnungsdiagramme von schubfest auf C50/60 Beton aufgeklebten "FRS-L-H" CFK-Klebelamellen, Dehnungsmessung in 0, 30, 60, 90 mm Abständen vom Beginn des Verbundbereiches

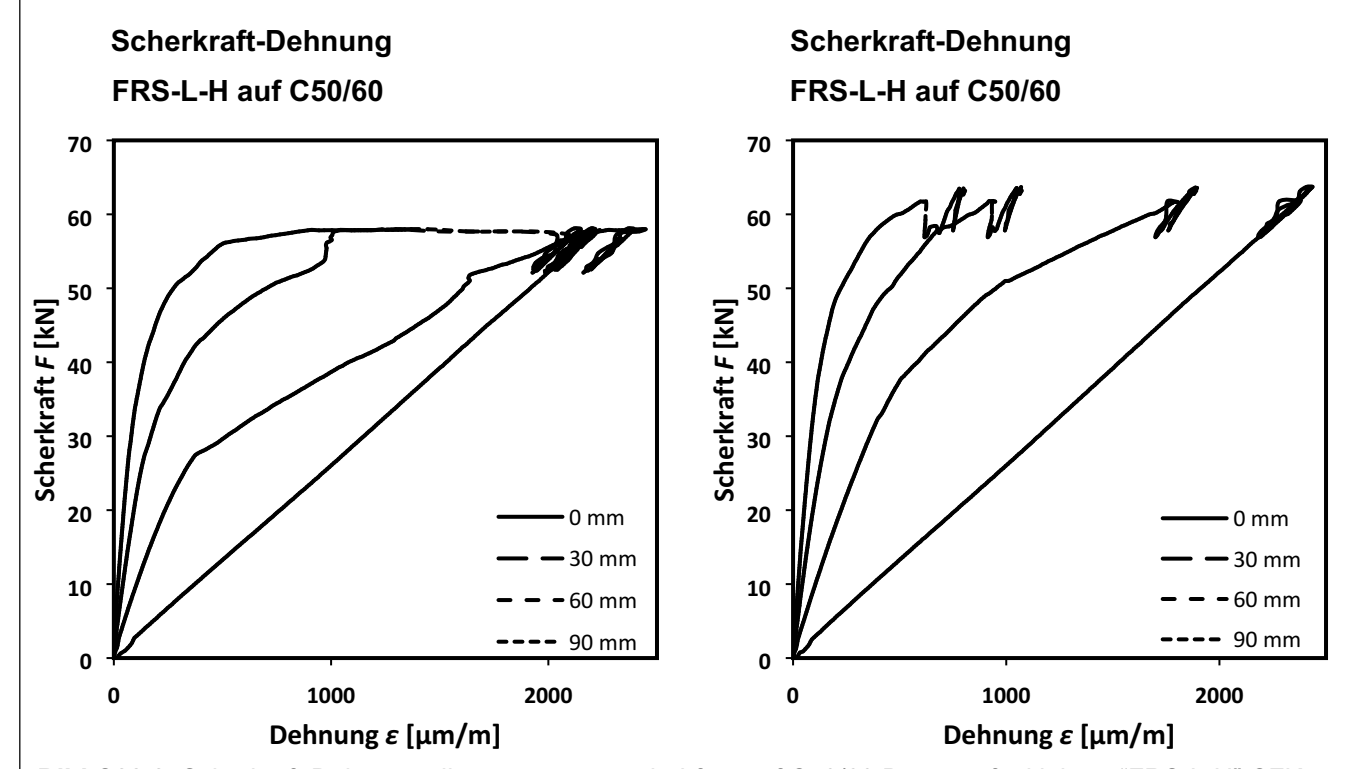


Bild C28.2: Scherkraft-Dehnungsdiagramme von schubfest auf C50/60 Beton aufgeklebten "FRS-L-H" CFK-Klebelamellen, Dehnungsmessung in 0, 30, 60, 90 mm Abständen vom Beginn des Verbundbereiches

fischer C-Fiber Force Strengthening System	
Leistung des Verstärkungsbausatzes	Anhang C28
Scherfestigkeit von auf Beton aufgeklebten "FRS-L-H" CFK-Klebelamellen	
(ohne Reparaturmörtel), Auswertung der Dehnungen entlang der Lasteinleitungszone	



Bruchlasten	der Endve	rankerung v	on in Schlitze verkleb	ten CFI	K-Schlit	tzlame	llen	
Betonfestig- keitsklasse	Verbund- länge <i>l</i> _{bl} [mm]	Rand- abstand a_r [mm]	Bruchlast [kN]					Versagens- art
C12/15	300	30	Einzelwerte	Test	4.1**	$F_{ m bLi}$	19,28	A*
				Nr.	4.2		18,05	B, A*
			Mittalwort		4.3	F _{bLm}	20,16 19,16	B, A*
			Charakteristischer We	I				
C12/15	300	150	Einzelwerte	Test	5.1	F _{bLk}	15,60 29,43	B*
012/10		1.55	Linzolworto	Nr.	5.2**	DL1	30,51	B*
					5.3		24,17	B*
			Mittelwert				28,04	-
			Charakteristischer We	rt		F _{bLk}	16,61	-
C50/60	100	150	Einzelwerte	Test	2.1	$F_{ m bLi}$	24,69	B*
				Nr.	2.2		23,16	B*
					2.3**		28,59	B*
			Mittelwert			F _{bLm}	25,48	-
2-1/22			Charakteristischer We	T			16,04	-
C50/60	300	30	Einzelwerte	Test	3.1	F_{bLi}	26,00	B, L*
				Nr.	3.2		30,82	B, L*
			Mittalwort		3.3	E	29,85	B, L*
			Mittelwert Charakteristischer Wert				28,89 20,31	_
C50/60	300	150	Einzelwerte	Test	1.1	F _{bLk}	25,34	B*
000/00	300	130	LINZGIWGITG	Nr.	1.2**	I bL1	28,81	B*
				' ' '	1.3**		35,00	B*
			Mittelwert	1		$F_{ m bLm}$		-
			Charakteristischer We	rt		F _{bLk}	13,23	-

Betonfestifkeit:

 $f_{\rm cm}$: 20,3 N/mm²; $f_{\rm ck}$: 19,0 N/mm² (C12/15)

 f_{cm} : 48,1 N/mm²; f_{ck} : 46,8 N/mm² (C50/60)

Installationsparameter:

Schlitzbreite b_s : 3.7 - 4,2 mm

Schlitztiefe t_s : 13 mm

21 °C, 50 r.F., 7 Tage Aushärtezeit

Typ und Geometrie der CFK-Schlitzlamelle:

"FRS-L-S NSM" 10 x 1,7 mm

Merkmale der "FRS-L-S NSM" Schlitzlamelle und des FRS-CS Epoxymörtels:

FRS-L-S NSM: E_{Lm} : 173 kN/mm²; f_{Lm} : 3054 N/mm²; W_{fi} : 77,4 %

FRS-CS: f_{Gflm} : 31,6 N/mm² ; f_{Gflk} : 24,0 N/mm² f_{Gcm} : 89,4 N/mm² ; f_{Gck} : 87,0 N/mm²

B

 Kohäsionsversagen im Klebstoff;
L

 Zugversagen der CFK-Lamelle

** Schlupfberechnung aus der faseroptischen Dehnungsmessung nicht möglich

fischer C-Fiber Force Strengthening System	
Leistung des Verstärkungsbausatzes Bruchlasten der Endverankerung von in Schlitze verklebten CFK-Schlitzlamellen	Anhang C29